

MOBILE RADIOTELEPHONE

TYPE CQM 13C-14

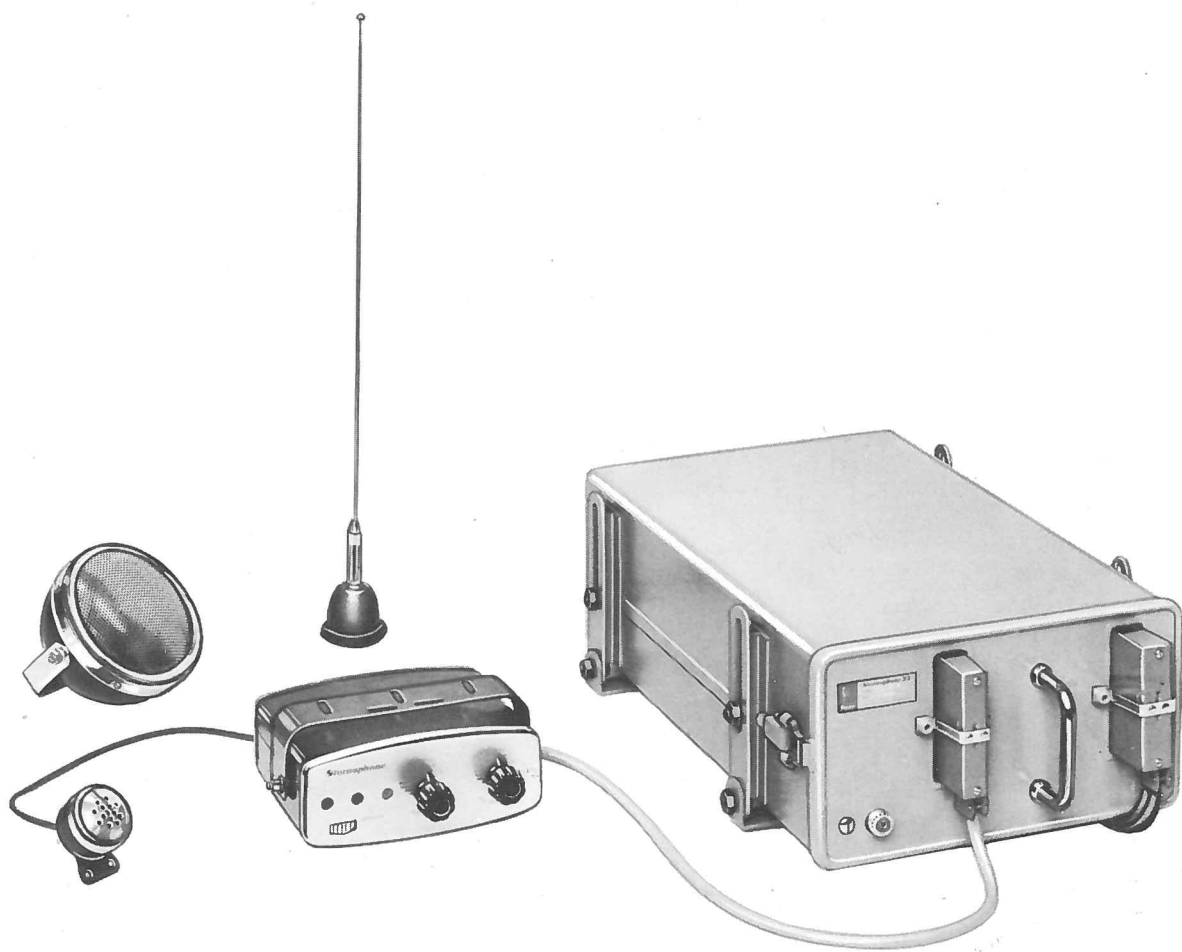
152-174 Mc/s

Indholdsoversigt

Generel Beskrivelse

Senderdel
Modtagerdel
Strømforsyning
Funktionsdiagram
Hoveddiagram

Betjeningsboks
Fejlretning og Vedligeholdelse
Installationsvejledning
Justeringsforskrift
Elektriske styklister



8779



VHF RADIO TELEPHONE
MODEL "STORNOPHONE"

Radiotelefon Model "Stornophone"

Type CQM13C-14

1. Generel Beskrivelse

1.1. Introduktion

Radiotelefonanlægget, model "Stornophone", er beregnet for radio-telefonkommunikation med andre mobile eller fast opstillede radio-telefonstationer på forud fastlagte frekvenser i nedenstående frekvensbånd, som er godkendt til mobil trafik:

152-174 MHz

Anlægget er konstrueret for skiftetale (simplex) med mulighed for omskiftning mellem max. 6 krystalstyrede nabokanaler med en minimal frekvensafstand på 25 kHz. Krystallerne er monterede i en thermostat-styret ovn, hvor temperaturen holdes konstant på ca. 85°C for at opnå størst mulig frekvensstabilitet.

Anlæggets driftsspænding kan være enten 6.3 VDC eller 12.6 VDC. Udskiftning mellem 6 og 12 V systemer kræver forandringer i den termo-statstyrede ovns strapninger, men derudover er stationen omskiftelig mellem 6 og 12 V installationer ligesom anlægget er uafhængig af batteriets polaritet.

1.2. Den komplette station

En komplet mobil radiotelefonstation, model Stornophone, består af følgende dele:

- 1 Stationskabinet indeholdende sender, modtager, krystalskift-chassis og strømforsyning.
 - 2 Betjeningsbox med for- forstærker og betjeningshåndtag.
 - 3 Højttaler.
 - 4 Mikrofon.
 - 6 Kvartbølge stavantenne.
 - Diverse installationsmateriel.

De ovenfor anførte numre refererer til omstående installationsskitse, hvor kabelføringerne mellem de enkelte dele er vist. De enkelte dele er nærmere beskrevet i de følgende kapitler.

1.3. Radiodelens konstruktion

Sender, modtager, krystalskiftchassis og strømforsyning danner sammen selve radiodelen. Enhederne er monteret på et fælles chassis, som er sammenbygget med forpladen. Radiodelen er anbragt i et lakeret stationskabinet som en skuffe og fastholdes til dette med to snap-låse. Stationskabinetet er fuldstændig lukket og den indsatte pakning mellem forplade og kabinet gør udstyret støv- og drypsikkert. Stationskabinetet er normalt monteret i køretøjets bagagerum.

På forpladen er anbragt batterikabelkonnektor, styrekabelkonnektor og antennekabelkonnektor. På forpladen er endvidere monteret koleribber, der kan bortlede varmen fra strømforsyningens effekttransistorer. På

chassiset er monteret et antal målebøsninger, som er forbundet med de vigtigste kredsløb i stationen. Ved at sammenligne eventuelle måleresultater med værdierne i det medfølgende måleblad, kan man få et indtryk af stationens øjeblikkelige tilstand.

Krystalskiftechassiset fås i to udgaver, en udgave for op til 3 kanaler, og en anden udgave for op til 6 kanaler. Krystalovnen er monteret på krystalskiftechassiset sammen med de nødvendige krystalskifterelæser.

1.4. Radiodelens elektriske opbygning

Senderdelen består af en talebegrænser, en lavfrekvensforstærker, en krystaloscillator, en frekvensmultiplikator, et push-pull drivertrin og en push-pull udgangsforstærker. Alle rør er indirekte opvarmede, og der er ingen forsinkelse af højfrekvensudgangseffekten ved tast af senderen. Senderens data opfylder de amerikanske EIA minimumskrav (EIA standard RS-152).

Modtagerdelen indeholder en signalfrekvensforstærker med fire afstemte signalfrekvens-kredse, en 1. blandingstriode, fire afstemte 1. mellemfrekvenskredse, en 2. blandingspentode, to mellemfrekvensrør med 12 afstemte mellemfrekvenskredse, to begrænsere med pentode, en diskriminator, en lavfrekvens-triode, en udgangspentode samt en elektronisk squelch. Modtageren anvender dobbelttransponering med eet krystal, og de nødvendige lokalsignalspændinger til blandingsrørene fås fra en krystaloscillator efterfulgt af en frekvensmultiplikator. Med dette konstruktionsprincip er de amerikanske EIA minimumskrav opfyldt (EIA standard RS-204).

Vibratorstrømforsyningen er opbygget omkring en såkaldt split-reed vibrator, som omformer 6,3 eller 12,6 VDC driftspænding til de ønskede anodespændinger. Den samme vibrator anvendes til både sender og modtager.

De tre radioenheder er nærmere beskrevet i de efterfølgende kapitler.

1.5. Betjening

Radiostationen styres fra en betjeningsbox, som normalt er monteret på eller under køretøjets instrumentbrædt. Betjeningsboxen er ved et mangekoret kabel forbundet med radiodelen, ligesom højttaler og mikrofon er forbundet til betjeningsboxen ved kabler.

I almindelighed har betjeningsboxen følgende funktioner:

- Start og stop af anlægget.
- Lydstyrkeregulering.
- Kanalomskiftning.
- Squelchregulering.
- Tast af sender (evt. på mikrofon eller med ratkontakt).
- Forvarmningsknap for senderglødestrøm.

Desuden er følgende kontrollamper anbragt på betjeningsboxens forplade:

- Hvid kontrolllampe for start (viser samtidig kanalnummer).
- Rød kontrolllampe for tast.
- Grøn kontrolllampe for forvarmning.

Iøvrigt henvises til kapitlet med beskrivelsen af den til anlægget hørende betjeningsbox.

2. Generelle tekniske data

2.1. Frekvensområde

152-174 MHz.

2.2. Maximalt frekvenssving

5 kHz.

2.3. Driftsspænding

6,3 V = eller 12,6 V =.

2.4. Antennebelastningsimpedans

50 ohm. SWR op til 2 kan tillades.

2.5. Senderudgangseffekt

Ca. 10 W.

2.6. Max. antal kanaler

6 kanaler.

2.7. Max. afstand mellem yderkanalerne

0.6 MHz.

2.8. Min. kanalafstand

25 kHz.

2.9. Modtagerfølsomhed

12 dB signal/støj forhold for mindre end 0.8 μ Vemk.

2.10. LF-udgangseffekt

0.5 W (kan forhøjes til 1 W).

2.11. Driftsform

Kontinuert stand-by/modtagning samt intermitterende drift af senderen (20%). Een enkel sendeperiode må ikke overstige 5 minutter.

Radiotelefon Model "Stornophone"

Type CQM/F13C-12/13/14

1. Senderdelen

1.1. Generelt

Senderdelen i radioanlægget CQM/F13C-12/13/14 er beregnet til kommunikation i frekvensområdet 152-174 MHz, og den er fasemoduleret i området 300 - 3000 Hz. Endvidere er senderdelen forsynet med en talebegrænser, som hindrer frekvenssvinget i at overstige 5 kHz og sikrer god udmodulering.

Senderen er krystalstyret, hvorved der opnås en frekvensstabilitet bedre end $\pm 15 \cdot 10^{-6}$ under normale forhold. Indenfor en maksimal båndbredde på 0,6 MHz kan anlægget forsynes med indtil 6 kanaler. Krystallerne er monterede i en termostatstyret krystalovn for at sikre størst mulig frekvensstabilitet.

Krystaloscillatorens udgangsfrekvens multipliceres i de efterfølgende trin med 24. Push-pull udgangsforstærkeren kan afgive ca. 10 W høj-frekvenseffekt.

1.2. Kredsløbsanalyse

Den krystalstyrede oscillator arbejder i frekvensområdet 6,33 MHz - 7,25 MHz - afhængig af den ønskede udgangsfrekvens. Oscillatoren efterfølges af et frekvensdoblertrin, et firedoblertrin samt et tredoblertrin. Den nøjagtige krystalfrekvens kan derfor beregnes ved at dividere udgangsfrekvensen med 24.

Oscillatoren svinger i et Pierce-Colpitt kredsløb, hvor krystallet er anbragt mellem styregitter og skærmgitter i den pentodekoblede heptode ECH81 (V12a). Dette arrangement sikrer meget lille tilbagevirkning fra fasemodulatoren ligesom krystalfrekvensen bliver meget lidt afhængig af anode- og glødespændingsvariationer.

Senderen kan forsynes med op til 6 kanaler, der skiftes med relæerne Re5 til Rel0. Med trimmerne C116 til C121 kan krystalfrekvensen justeres nøjagtigt til kvartskrystallets påstempledte værdi. Krystaller til både sender og modtager i den termostatkontrollerede krystalovn samt relæer og trimmere er monteret på en speciel krystalskifteenhed, som er anbragt bag forpladen. Oscillatorspændingen føres til fase-modulatorrøret V11b, hvis gitter også får tilført modulationsspændingen. Princippet i fasemodulatoren tillader meget store frekvenssving med lav forvrængning. Fasemodulatoren efterfølges af et doblertrin DB (V12b) der er triodedelen i ECH81. Det dobbelt afstemte båndfilter L23 er justeret til krystalfrekvensens anden harmoniske.

HF-spændingen føres videre til firedobleren QD (V13), som er pentode af typen 5654/M8100. Det dobbelt afstemte båndfilter L24 er anbragt i anoden på dette rør, og filtret er afstemt til den 8. harmoniske af krystalfrekvensen.

Firedoblertrinnet efterfølges af tredobleren TRP (V14), som er en pentode af typen 5654/M8100. Anodekredsen L36 er afstemt med en cylindertrimmer C145, og sekundærkredsen L37 er afstemt med to små cylindertrimmere, som ved resonans skal være tilnærmelsesvis lige meget inddrejet. Sekundærkredsen er koblet direkte til driverrørets gitre.

Som push-pull driver anvendes dobbelttetroden QQE 03/12 (V15). Anodekredsen L27 er afstemt til senderens udgangsfrekvens som er den 24. harmoniske af krystalfrekvensen. Primærkredsen er afstemt med to små cylindertrimmere, som ved resonans skal være tilnærmelsesvis lige meget inddrejet. Sekundærkredsen er uafstemt og koblet direkte til udgangsrørets gitre.

Udgangstrinnet PA (V16) er en push-pull forstærker med dobbelttetroden QQE 03/12. Anodespolen afstemmes med butterflykondensatoren og er induktivt koblet til antennelinken L30. Diodekredsløbet E7 er et målekredsløb.

Udgangseffekten tilføres kontakterne c4 på relæet Re3 (C). For yderligere at begrænse udstrålingen af ønskede frekvenser er der mellem relækontakten og antennekonnektoren indskudt et flerkreds lavpasfilter. Når senderen taster, trækker relæ Re3, og udgangseffekten føres via lavpasfilter og antennekonnektor til antennen. I stand-by er relæ Re3 ikke trukket, og modtageren er koblet til lavpasfiltret (antennekonnektoren).

I tilfælde af svigtende udstyring af rørene er disse sikret mod overbelastning, dels ved anvendelse af katodemodstande, og dels ved anvendelse af fast negativ gitterforspænding.

Modulationsforstærkeren i senderen består af pentodedelen i ECL80 (V9a), som også anvendes som udgangsrør i modtageren. Røret efterfølges af talebegrænserkredsene omkring E5 og E6 samt lavfrekvens-forstærkertrinet AF (V11a), som er den ene triode i ECC81.

Modulationsspændingerne fra mikrofon eller mikrofonforstærker føres ind på transformatoren T2. Over sekundærssiden af denne transformator er anbragt et potentiometer R53, hvormed modulationsspændingen kan indstilles til det ønskede niveau. Modulationsspændingen forstærkes i V9a og kobles til kondensatoren C110 i talebegrænsingen gennem udgangstransformatoren. Da V9a benyttes både i sender og modtager, er det nødvendigt at foretage en del omskiftninger, hvilket sker med relæerne Re2 (B) og Re3 (C). Ved tastning afbrydes bl.a. 3,2 ohm viklingen på T1's sekundærside med kontaktsættet cl og kobles i serie med 1,5 kohm viklingen.

Talebegrænsers differentialsled (C110 og R82) giver modulations-frekvenserne en forbetoning på 6 dB/oktav i området fra 300 Hz til 3000 Hz. De jævnstrømsforspændte dioder (E5 og E6) klipper modulationsspændingen over en bestemt værdi; det gælder både positive og negative spændingsspidser. I det efterfølgende integrationsled (C112 og R86) gives modulationsfrekvenserne en betoningsudligning på -6dB/oktav i frekvensområdet fra 300 Hz til 3000 Hz. Frekvenskarakteristikken fra modulationsindgang til AF-rørets gitter er altså retliniet indenfor ovennævnte frekvensområde, når klipperen ikke er trådt i funktion.

Diodernes forspænding kan reguleres indenfor ret snævre grænser med R80, men denne justering er foretaget på fabrikken, således at frekvenssvinget ikke overstiger 5 kHz. Både modulationsspændingspotentiometeret (R53) og forspændingspotentiometeret (R80) skal justeres med skruetrækker og er forsynet med låseanordning.

Lavfrekvensforstærkeren AF (V11a) forstærker modulationsfrekvenserne i den ene halvdel af dobbelttrioden ECC81. De harmoniske forvrængningsprodukter hidrørende fra talebegrænsingen dæmpes kraftigt af en frekvensafhængig kreds (C113, R88 og C114, R89), der giver røret en lavpasfiltervirkning med afskæring over 3000 Hz.

Fra lavfrekvensforstærkeren føres modulationsspændingerne over et RC-led til fasemodulatorens gitter, der også får tilført HF-spændingerne fra senderoscillatoren.

2. Tekniske data

2.1. Udgangseffekt

Min. 10 watt.

2.2. Maksimalt frekvenssving

±5 kHz. Sikret med effektiv talebegrænser.

2.3. Frekvensstabilitet

Bedre end $\pm 5 \cdot 10^{-6}$ ved omgivelsestemperaturer fra -20°C til $+40^{\circ}\text{C}$.

2.4. Udstråling af uønskede frekvenser

Harmoniske af udgangsfrekvensen er dæmpet mere end 65 dB (mindre end $2 \times 10^{-5} \text{ W}$). Harmoniske af krystalfrekvensen er dæmpet mere end 80 dB (mindre end $2 \times 10^{-7} \text{ W}$) (EIA standard RS-152, pkt. 3 og 4).

2.5. Frekvensmultiplikation

2 . 4 . 3 = 24.

2.6. Maksimal frekvensafstand mellem yderkanalerne

0,4 MHz ved ca. 1 dB dæmpning.

2.7. Krystalfrekvensberegning

$$\text{Krystalfrekvens} = \frac{\text{senderfrekvens}}{24}$$

2.8. Modulationskarakteristik

Fasemodulation i området 300 til 3000 Hz med en afvigelse på højst +1, -3 dB relativt til 1000 Hz (EIA standard RS-152 pkt. 6).

2.9. Modulationsfølsomhed

Med fuldt opdrejet potentiometer er følsomheden bedre end 0,1 V for et frekvenssving på 5 kHz ved 1000 Hz.

2.10. Modulationsindgangsimpedans

Ca. 600 Ω.

2.11. Modulationsforvrængning

Mindre end 5% ved 1000 Hz og et frekvenssving på 3,3 kHz (EIA standard RS-152 pkt. 5).

2.12. Modulationsbegrænsning

Talebegrænser hindrer frekvenssvingenet i at overstige 5 kc/s og lavpasfilter nedsætter modulationssplatter i nabokanalen. (EIA standard RS-152 pkt. 8).

2.13. FM brum- og støjniveau

Dæmpet mere end 30 dB under standard frekvenssving, 3,3 kHz (EIA standard RS-152 pkt. 7).

2.14. AM brum- og støjniveau

Dæmpet mere end 40 dB (EIA standard RS-152 pkt. 16).

2.15. Sidebåndsstøj

Dæmpet mere end 60 dB (EIA standard RS-152 pkt. 17).

Sidebåndsstøj på nabokanal er mindre end 10 μ W (GPO standard W6289 pkt. 4.2.2.).

2.16. Krystalfrekvensområde

6,33 MHz til 7,25 MHz.

2.17. Kvartskrystal

Storno type 4.

Krystalspecifikationen svarer til MIL-C-3098B, type CR-36/U fraset belastningen, som skal være 30 pF \pm 0,5 pF.

2.18. Frekvensjustering

Med kvartskrystaltrimmerne kan krystalfrekvensen ændres mere end \pm 25 \cdot 10⁻⁶ fra den nominelle frekvens.

2.19. Rørbestykning

Lavfrekvensforstærker og fasemodulator	ECC81	12AT7
Oscillator og dobler	ECH81	6AJ8
Firedobler	5654/M8100	6AK5
Tredobler	5654/M8100	6AK5
Driverør	QQE03/12	6360
Push-pull effektforstærker	QQE03/12	6360

Desuden anvendes modtagerens udgangsrør ECL80 som modulationsforstærkerrør under sending.

Radiotelefon Model "Stornophone"

Type CQM/F13C-12/13/14

1. Modtagerdelen

1.1. Generelt

Modtagerdelen i radioanlægget CQM/F13C-12/13/14 er beregnet til kommunikation i frekvensområdet 152-174 MHz. Den kan modtage frekvensmodulerede signaler i området 300 Hz til 3000 Hz med et maksimalt frekvenssving på 5 kHz.

Modtageren er krystalstyret, hvorved der opnås en frekvensstabilitet bedre end $\pm 5 \cdot 10^{-6}$ under normale forhold. Indenfor en maksimal båndbredde på 0,6 MHz kan anlægget forsynes med indtil 6 kanaler. Der anvendes dobbelttransponering med kun et krystal. Krystallerne er monteret i en termostatstyret krystalovn for at sikre størst mulig frekvensstabilitet.

Modtagerens kaskodeindgang har et meget lavt støjtal, hvilket giver modtageren en meget stor følsomhed. 1. mellemfrekvens ligger i frekvensområdet 9,4 MHz til 10,7 MHz, mens anden mellemfrekvens er 455 kHz. Det mobile anlægs LF-udgangseffekt er 0,5 W, mens det faste anlægs LF-udgangseffekt er 1W. LF-udgangsefekten i de mobile anlæg kan dog forhøjes til 1W ved simple strapninger som angivet på hoveddiagrammet. Modtagersektionen indeholder endvidere et squelchkredsløb, der blokerer højttaleren i de perioder, hvor bærebølge ikke modtages.

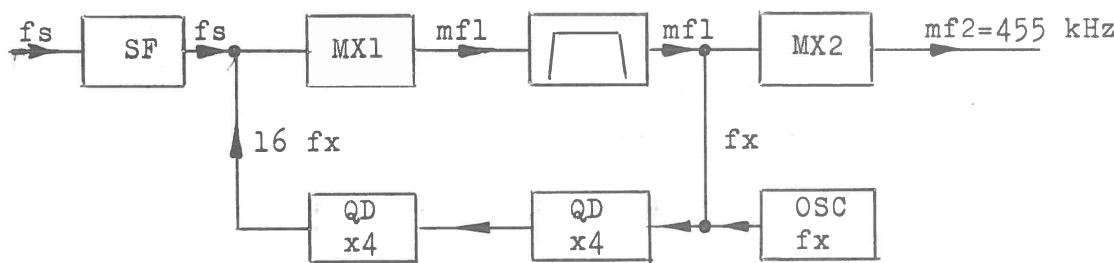
1.2. Kredsløbsanalyse

Det modtagne signal føres fra antennen gennem antennekonnektor J3, et lavpasfilter og kontakten på antennerelæset Re3 (C) til antennelinken L1, som er induktivt koblet til signalfrekvensforstærkerens gitterkreds (V1). SF-røret er en dobbelttriode ECC84, som af hensyn til et lavt støjtal er forbundet i kaskodekobling.

For at opnå stor indgangsselektivitet og dæmpning af uønskede frekvenser, efterfølges kaskodetrinet af et båndpasfilter.

Signalfrekvensen tilføres styregitteret på 1. blandingstrin MX1 (V2a) sammen med lokalsignalfrekvensen, der er den 16. harmoniske af krystallets grundfrekvens. 1. blandingstrin (V2a) udgør første halvdel af dobbelttrioden ECC81, mens den anden halvdel benyttes som firedoblertrin (V2b), hvorfra lokalsignalfrekvensen fås.

I anoden på MX1 selekteres den ønskede 1. mellemfrekvens, som gennem et firekredsfILTER ledes til 2. blandingsrør MX2 (V3), der er en pentode 5654/M8100. Sævel krystaloscillatorens grundfrekvens som 1. mellemfrekvens påtrykkes MX2's styregitter.



Blandingsprincippet

Som det fremgår af ovennævnte blokskema, anvendes der dobbelt transponering med kun et krystal. Dette medfører bl.a., at resonansfrekvensen af den 1. mellemfrekvens bliver afhængig af signalfrekvensen. Udfra ovenstående skema kan der opstilles følgende ligninger for blandingsprincippet:

$$\begin{aligned} fs &= 16 fx + mfl \quad (1) \\ \text{og } mfl &= fx + 0,455 \quad (2) \end{aligned}$$

Ved at løse ligningerne med hensyn til fx fås:

$$fx = \frac{fs - 0,455}{17} \text{ MHz} \quad (3)$$

hvor fs indsættes i MHz.

Såfremt ligningerne løses med hensyn til mfl fås:

$$mfl = \frac{fs + 7,28}{17} \quad (4)$$

Af ligning (4) fremgår det, at for en given ændring af signalfrekvensen, bliver den absolute frekvensændring i 1. mellemfrekvens:

$$\Delta mfl = \frac{\Delta fs}{17}$$

Oscillatoren OSC (V10a) er opbygget omkring heptodedelen i ECH81 som en Pierce-Colpitt oscillator med krystallet anbragt mellem styregitter og skærmgitter. Herved opnås, at krystallet kører med et meget lavt driftsniveau, og at krystalfrekvensen bliver meget lidt afhængig af variationer af gløde- og anodespændinger. Oscillatorens anodekreds er afstemt til krystallets grundfrekvens, der tilføres dels 2. blandingsstrin og dels styregitteret på firedobleren.

Firedobler QD (V10b) er opbygget omkring triodedelen i ECH81. Anodens dobbelt afstemte båndpasfilter frafiltrerer den 4. harmoniske af krystalfrekvensen, der fra filtrets sekundærside føres til firedoblerrørets styregitter.

Firedobblertrin QD (V2b) er opbygget omkring den ene triodedel i ECC81. I anodekredsen frafiltreres den 16. harmoniske af krystalfrekvensen, hvorved den ønskede lokalfrekvens til første blandingstrin er frembragt.

Modtageren (oscillatoren) kan forsynes med 6 kanaler, d.v.s. 6 faste krystalstyrede frekvenser (X1-R til X6-R), som skiftes ved hjælp af relæerne Re5 til Rel0. I forbindelse med hvert krystal er monteret en trimmer (C81 til C86), hvormed krystalfrekvensen kan justeres nøjagtig til krystallets påstempledte værdi. Krystaller, ovn, trimmere og relæer er monteret på en krystalskifteenhed, som er anbragt lige bag anlæggets forplade.

Den højselektive mellemfrekvensforstærker på 455 kHz består af 2 trin med i alt 12 afstemte kredse, og dens båndbredde er ca. 11 kHz. De 12 afstemte kredse er fordelt med 4 kredse mellem hver af forstærker-rørrene MX2, IF1, IF2 og LI1. Begge mellemfrekvensforstærkerrørene (V4 og V5) er af typen 5654/M8100. Over gitteraflederen på V5 udtages en AGC spænding, der føres tilbage til signalfrekvensforstærkeren for at forhindre denne i at blokere for kraftige indgangssignaler.

Fra MF-forstærkeren ledes signalet til en effektiv 2-trins begrænsrer LI1 (V6) og LI2 (V7), hvor begge rør er af typen 5654/M8100. Mellem de to begrænsrentrin er indskudt en bredbåndskreds (L15). Fra sidste begrænsrentrin føres signalet til diskriminatoren.

Diskriminatoren (L16, E1 og E2) er en konventionel Foster-Seeley detektor, som demodulerer fasemodulationen i signalet. Diskriminatorudslaget, som normalt skal være 0, kan kontrolleres i målepunkt 3.

Fra diskriminatoren ledes signalet dels til støjforstærkeren NA (V9b) og dels til lavfrekvensforstærkeren.

Lavfrekvensforstærkeren AF (V8a) er den ene triode i ECC83. Inden signalet tilføres dette trin passerer det et betoningsudligningsfilter (R44, C63), som giver modtageren en demodulationskarakteristik på -6 dB/oktav i området 300 Hz til 3000 Hz. Lavfrekvensspændingen til V8's styregitter kan reguleres med R45. Denne justering er foretaget på fabrikken, og yderligere justering er normalt ikke nødvendig. Gitteraflederen på V8a er ført til squelchrøret V8b, hvis funktion er beskrevet nedenfor.

Lavfrekvenssignalet føres ind på styregitteret på udgangsrøret PA (V9a), som er pentodedelen i ECL80. Udgangseffekten fra 3,2 ohms viklingen på udgangstransformatoren føres over kontakterne på relæ Re3 (C) til konnektoren J1 på udstyrets forplade.

Som nævnt under senderbeskrivelsen anvendes V9a også som modulationsforstærkerrør i senderen. Under sending foretages en omkobling af udgangstransformatorens sekundærvikling og rørets driftsspændinger.

Udgangsrøret afgiver normalt en udgangseffekt på 0,5 watt, men ved at flytte ensretterventilen E8 i strømforsyningen fra udtag 10 til udtag 11 på transformator T3 og ved at fjerne strapningen over modstanden R54, vil udgangseffekten kunne hæves til ca. 1 watt. Den stationære radiotelefon (type CQF13C-14) er dog fast indstillet til at afgive 1 watt højttalereffekt.

Støjforstærkerrøret NA (V9b) er triodedelen i ECL80. Støjspændingerne fra diskriminatoren tilføres dette trin gennem to RC-led (C65, R55 - R56, C73), der har båndfiltervirkning og forhindrer talespændinger og 455 kHz spændinger i at nå støjforstærkeren. I støjforstærkerens anode er indskudt et potentiometer (sq-reg.), som er monteret i anlæggets betjeningsbox. Ved hjælp af potentiometeret kan støjforstærningen reguleres. De forstærkede støjspændinger enslettes i diodekredsløbet E3 og tilføres squelchrøret gennem et filter (R62, C79).

Squelchrøret SQ (V8b) er den ene triodededel i ECC83. Den tilførte støjspænding fra ensretterkredsløbet giver røret en negativ gitterforspænding, som er stor, når støjspændingen er stor (hvilket svarer til meget lille eller slet intet signal på modtagerens antenneindgang).

Herved blokeres squelchrøret.

En negativ spænding på ca. 50 volt fra ensretteren E9 er gennem modstanden R65 ført til squelchrørets katode. Når der ikke går anodestrøm i squelchrøret (intet signal), og der derfor er stor støjspænding til stede, vil katoden på squelchrøret antage samme negative spænding i forhold til stel, som er til stede over ensretteren E9. Gennem en spændingsdeler ledes denne negative spænding til lavfrekvensrørets gitter (V8a), og lavfrekvensrøret blokeres og forhindrer lavfrekvensspænderne i at blive tilført udgangsrøret (V9a).

For at formindske udstyrets stand-by forbrug tilføres den fulde negative spænding også til udgangsrørets gitter.

Når der kommer signal på modtagerens antenneindgang, vil støjspændingen forsvinde, og dermed forsvinder den negative spænding over gitterkatodestrækningen på V8b, som derfor trækker anodestrøm. Katodens jævnspændingspotential bliver herved større end stelpotential, og dioden E4 bliver ledende. Da diodens fremadmodstand er lav i sammenligning med modstanden R64, vil den sørge for, at spænderne til gitrene på V8a og V9a altid vil være på stelpotential uanset hvor høj katodespændingen på V8b bliver. Der sikres derfor lavfrekvensrørene V8a og V9a et veldefineret arbejdspunkt, så snart antennespændingen på modtagerindgangen bliver større end squelchens tærskelværdi. Når udgangsrøret V9a anvendes som modulationsforstærker i senderen, er det nødvendigt at lægge styregitterets "bund" på stelpotential, hvilket sker med tastrelæset Re3 (C).

Mellem senderens anodespænding og squelchledningen til V8a's gitter er anbragt et RC-led, som frembringer en stor negativ spænding på squelchledningen i det øjeblik, der skiftes fra sending til modtagning. Man undgår herved det kraftige, men kortvarige sus i højtaleren umiddelbart efter, at senderens tastkontakt er sluppet.

2. Tekniske data

2.1. Følsomhed

12 dB signal/støjforhold for mindre end 0,8 μ Vemk (EIA standard RS-204 pkt. 3).

2.2. Frekvensstabilitet

Bedre end $\pm 5 \cdot 10^{-6}$ ved omgivelsestemperaturer fra -20° til $+40^\circ$ C.

2.3. Støjtal

Ca. 5 dB.

2.4. Squelchfølsomhedens tærskelværdi

0,5 μ Vemk svarende til et signal/støjforhold på 6 dB (EIA standard RS-204 pkt. 5.2.1).

2.5. Maksimal frekvensafstand mellem yderkanalerne

0,6 MHz ved en reduktion i følsomheden på ca. 1 dB.

2.6. Spurious selektivitet

Bedre end 85 dB.
(EIA standard RS-204 pkt.8).

2.7. Modtager udstråling

Mindre end 2×10^{-9} W.

2.8. Mellemfrekvensselektivitet

For ± 5 kHz er dæmpningen højst 6 dB.
For ± 12 kHz er dæmpningen mindst 40 dB (målt efter eenfrekvens-metoden med reference til 1. begrænser) eller 80 dB (målt efter to-frekvensmetoden med det ønskede signal i 25 kHz afstand i overensstemmelse med EIA standard RS-204 pkt.7).

2.9. Intermodulationsdæmpning

70 dB (EIA standard RS-204 pkt.9).

2.10. Lavfrekvensudgangseffekt

Mobilt udstyr: 0,5 W, som kan forhøjes til 1,0 W ved simple om-koblinger.

Fast udstyr: 1,0 W.

Klir er i begge tilfælde mindre end 10 % ved et frekvenssving på 3,3 kHz ved 1000 Hz (EIA standard RS-204 pkt.10).

2.11. Lavfrekvensudgangsimpedans

3,2 ohm.

2.12. Lavfrekvenskarakteristik

-6 dB/oktav i området 300 Hz til 3000 Hz +1, -4 dB relativt til 1000 Hz. (EIA standard RS-204 pkt.11).

2.13. Brum- og støjspændinger

Dæmpet mere end 42 dB ved fuld udgangseffekt ved 3,3 kHz frekvens-sving og en modulationsfrekvens på 1000 Hz.
(EIA standard RS-204 pkt.12).

2.14. Krystalfrekvensmultiplikation

$4 \times 4 = 16$.

2.15. Krystalfrekvensberegning

Krystalfrekvens = $\frac{\text{modtagerfrekvens i MHz}}{17} = 0,455$ MHz.

2.16. Krystalfrekvensområde

8,9 MHz til 10,2 MHz.

2.17. Kvartskrystal

Storno type 4.

Krystalspecifikationen svarer til MIL-C-3098B type CR-36/U fraset belastningen, som skal være 30 pF $\pm 0,5$ pF.

2.18. Frekvensjustering

Med kvartskrystaltrimmerne kan krystalfrekvensen ændres mere end $\pm 25 \cdot 10^{-6}$ fra den nominelle værdi.

2.19. Frekvensområde for 1. mellemfrekvens

9,4 MHz til 10,7 MHz.

2.20. Rørbestykning

	Europ.	U.S.
Signalfrekvensforstærker	ECC84	6CW7
1. blander og 2. firedobler	ECC81	12AT7
Oscillator og 1. firedobler	ECH81	6AJ7
2. blander	5654/M8100	6AK5
1. mellemfrekvensforstærker	5654/M8100	6AK5
2. mellemfrekvensforstærker	5654/M8100	6AK5
1. begrænser	5654/M8100	6AK5
2. begrænser	5654/M8100	6AK5
Støjforstærker og udgangsforstærker ..	ECL80	6AB8
Lavfrekvensforstærker og squelchrør ..	ECC83	12AX7

Radiotelefon Model "Stornophone 33"

Type CQMx3C-3b 14

Vibratorstrømforsyning

1.1. Generelt

Vibratorstrømforsyningen består af en ikke-synkron heavy-duty vibrator Vb, en vibratortransformator T3, to ensretterventiler E8 og E9, anodestrømsfiltret T4 - C164 samt gitterspændingsfiltret C165 - R122 - C166. Til strømforsyningsdelen hører endvidere startrelæet Rel (A), tastrelæerne Re2 (B) og Re3 (C) samt forvarmningsrelæet Re4 (D).

Strømforsyningen er ikke afhængig af driftsspændingens polaritet, og den er heller ikke afhængig af om spændingen er 6,3 eller 12,6 volt, idet batterikabelkonnektoren P2 forbindes på forskellig måde ved 6,3 og 12,6 volt.

Strømforsyningen afgiver anodespænding og negativ gitterspænding til både senderdelen og modtagerdelen.

1.2. Kredsløbsanalyse

Startrelæet Rel (A) har to 6 volts-viklinger, som ved 12 volt lægges i serie og ved 6 volt forbindes i parallel. Ved stelslutning af startledningen J1-a2 trækker relæet og vibratoren får tilført driftsspænding.

Vibratoren er af split-reed typen, hvilket betyder, at den har to mekanisk parallel forbundne, men elektrisk adskilte kontaktsystemer. Hvert kontaktsystem er forbundet til hver sin vikling på vibratortransformatoren T3. Hvert system er ført ud til konnektoren J2, hvor de lægges i parallel ved 6,3V driftsspænding eller i serie ved 12,6V driftsspænding. Kabelføringen i batterikabelkonnektoren er vist på hoveddiagrammet af stationen, idet den er forskellig for 6,3 eller 12,6 volt.

Vibratortransformatoren har to sekundærviklinger - en for anodespænding og en for negativ spænding. Anodestrømmen ensrettes i en broensretter E8 og filtreres i filtret C164 og T4. Gitterspændingen ensrettes ligeledes af en broensretter E9 og filtreres af C165, R122 og C166.

Hoveddiagrammet viser anlægget i stand-by uden forvarmning af senderglødetrådene. Senderen kan kun tastes, når forvarmningsrelæet Re4 (D) er trukket.

For at nedsætte gnistdannelsen i vibratoren er anodespændingsviklingen forsynet med timingkredsløbet C163 - R121. Alle ledninger til vibratoren fatning er afkoblet med ferroxcubeperler og gennemføringskondensatorer, som er monteret i en lille skærmkasse, der omslutter vibratorenfatningen.

I glødetråden på fasemodulatorrøret er indsat et filter, som nedsætter sidebåndsstøjten i nabokanalen.

1.3. Relæfunktionerne

Relæ Re2 (B) har følgende funktioner ved tast:

Kontaktsæt b3 skifter ventilen mellem sender- og modtagervibrator spændinger.

Kontaktsæt b2 skifter den ensrettede anodespænding fra modtager til sender.

Kontaktsæt b4 sætter glødespænding på den ene halvdel af gløde-tråden på sender udgangsrøret V15.

Kontaktsæt bl skifter fra modtager- til senderanodespænding til V9a.

Relæ Re3 (C) har følgende funktioner ved tast:

Kontaktsæt c4 skifter antennen fra sender til modtager.

Kontaktsæt c3 stelforbindes V9a's gitterafleder.

Kontaktsæt cl skifter sekundærviklingen på udgangstransformatoren T1 fra højttaleren til indgangen af talebegrænseren i senderen.

Kontaktsæt c2 slutter spænding til transistorforstærkeren i betjeningsboxen.

2. Tekniske data2.1. Nominel driftsspænding

6,3 V eller 12,6 V målt på batterikonnekturen.

2.2. Negativ gitterspænding

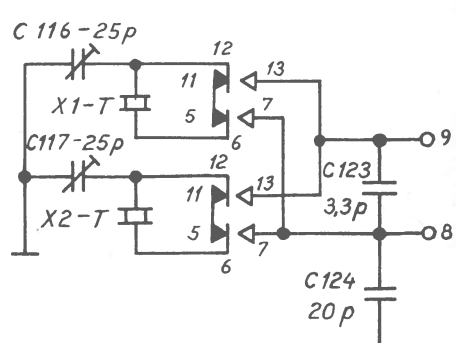
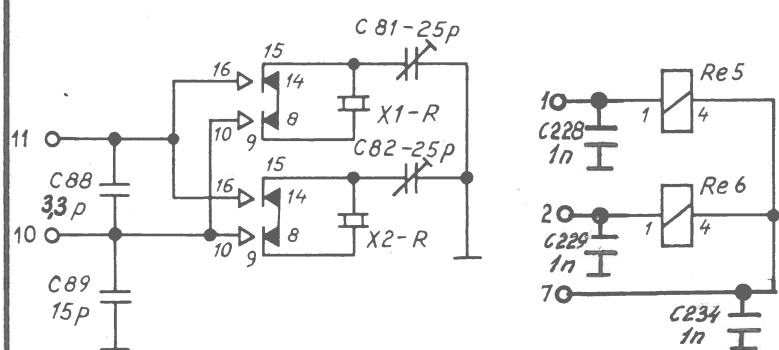
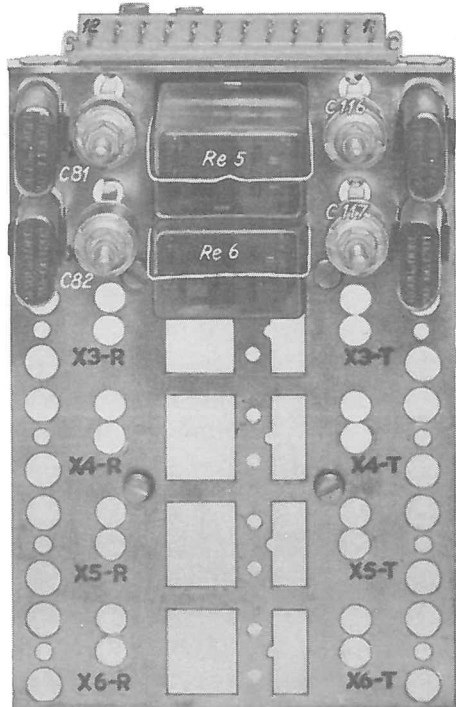
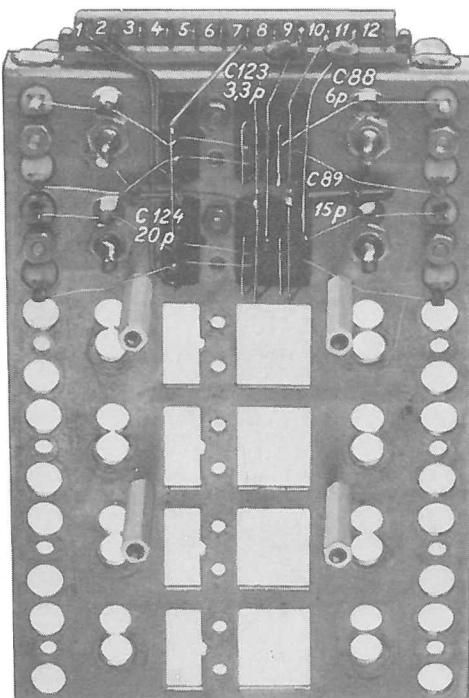
I stand-by -54V
Under sending: -31V.

2.3. Anodestrøm

	Stand-by	Modtagning	Sending
0,5 W LF-effekt	48 mA/146 V	65 mA/143 V	160 mA/300 V
1,0 W LF-effekt	54 mA/228 V	79 mA/220 V	160 mA/300 V

2.4 Optagen vibratorstrøm

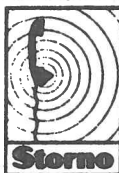
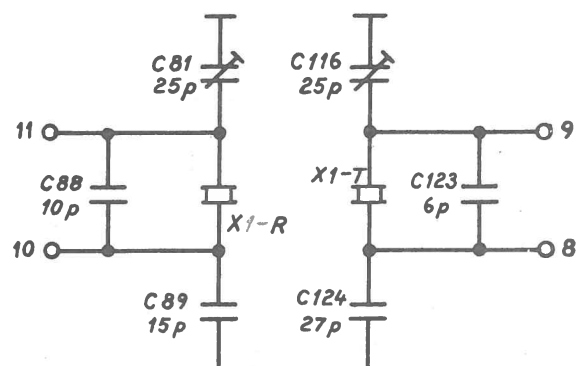
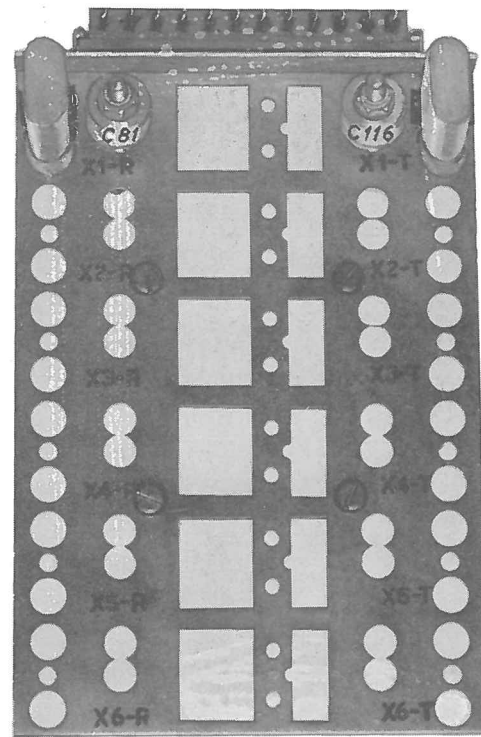
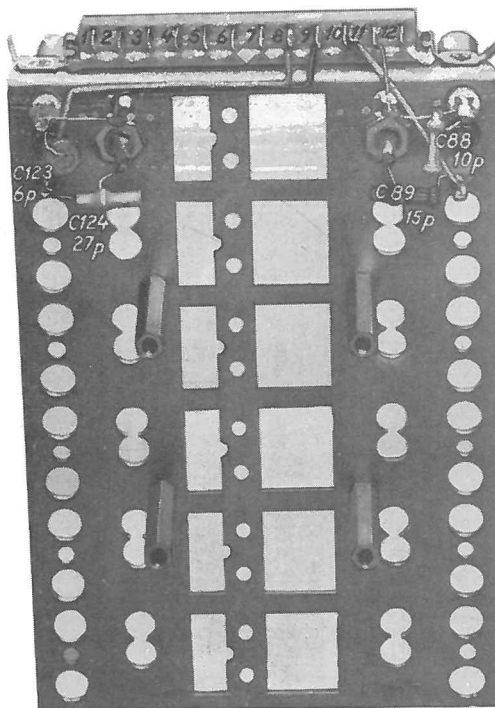
	6,3 V	12,6 V
Modtagning = 0,5 W LF-effekt	2,7 A	1,4 A
Modtagning = 1,0 W LF-effekt	4,25 A	2,2 A
Sending	10,8 A	5,4 A



X-TAL SHIFT FOR 2 CHANNELS
KRYSTALSKIFT FOR 2 KANALER

type nr. 10.661 b

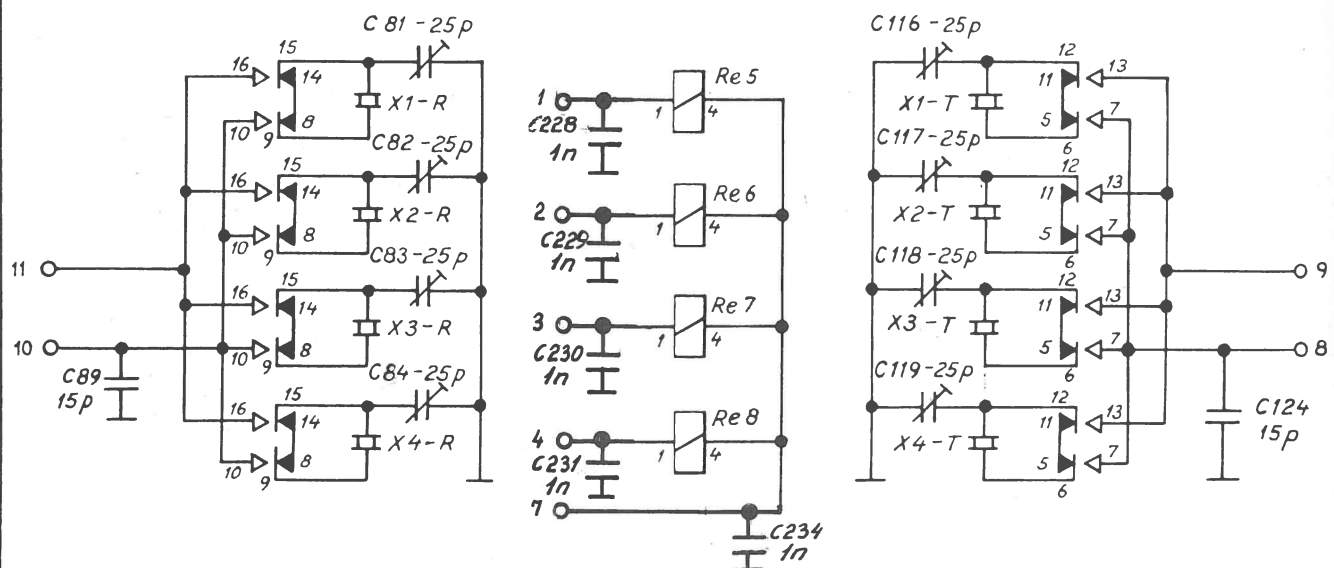
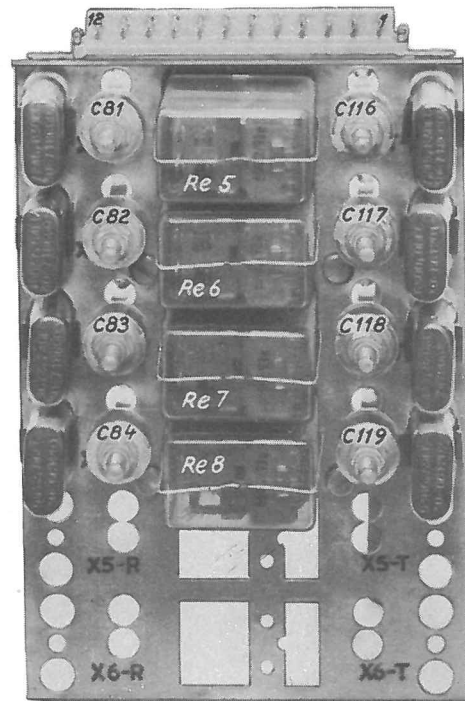
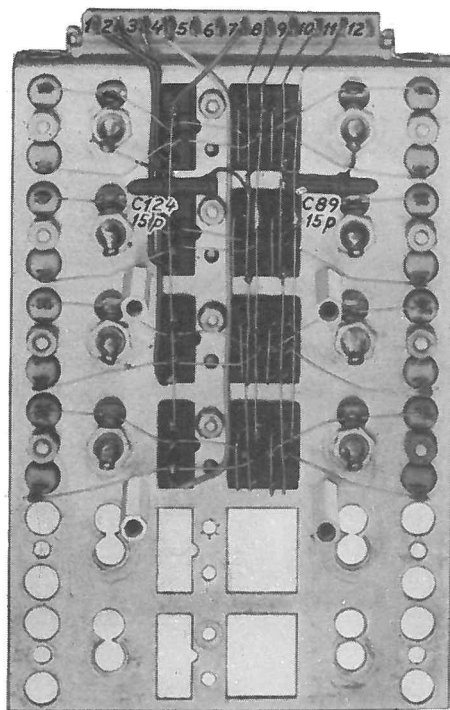
D 9597



**X-TAL SHIFT FOR 1 CHANNEL
KRYSTALKIFT FOR 1 KANAL**

type no. 10.6610

D9555

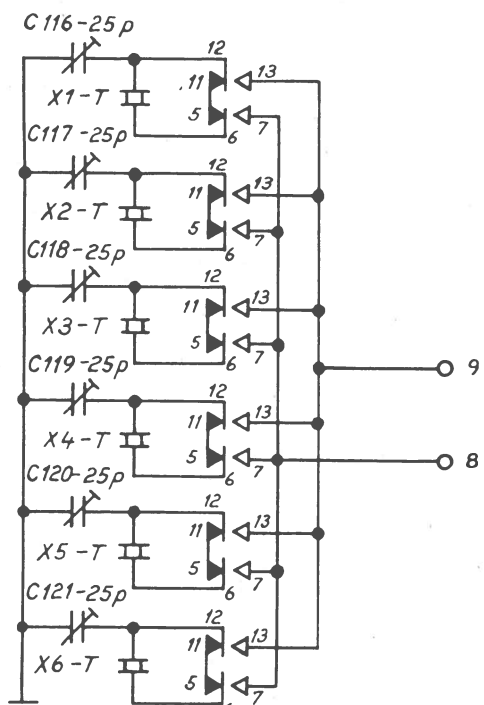
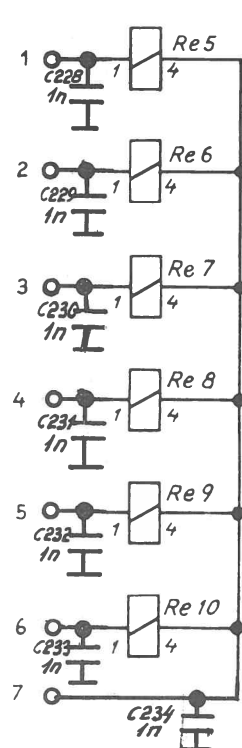
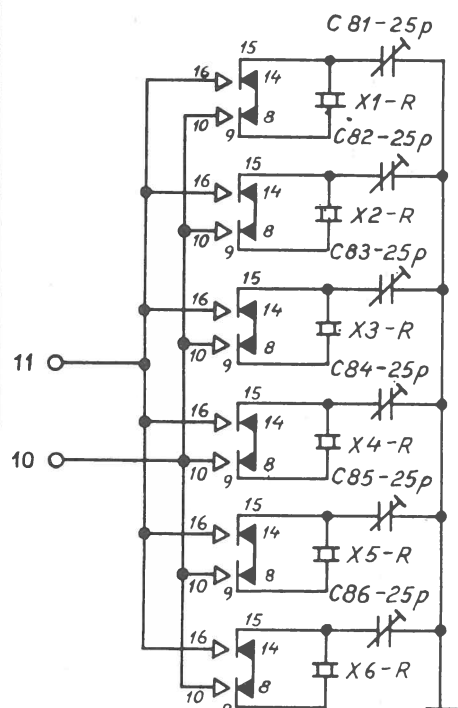
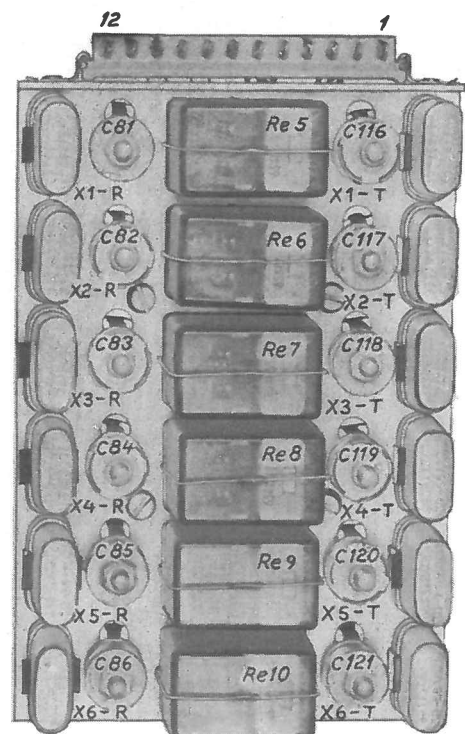
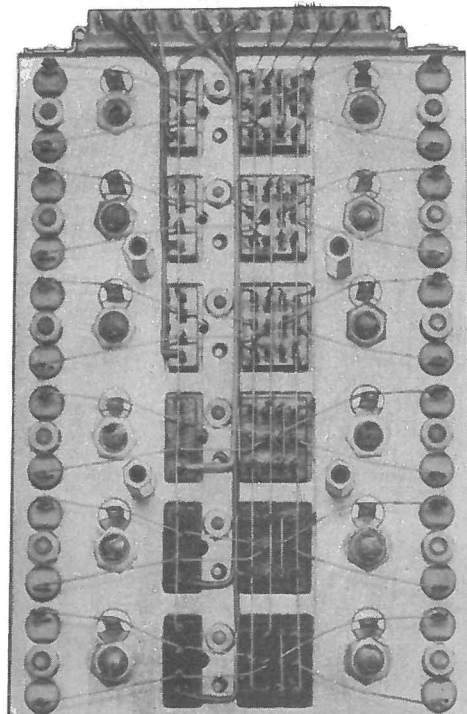


X-TAL SHIFT FOR 4 CHANNELS
KRYSTALSKIFT FOR 4 KANALER

type nr. 10661d

D 9598

1 2 3 4 5 6 7 8 9 10 11 12

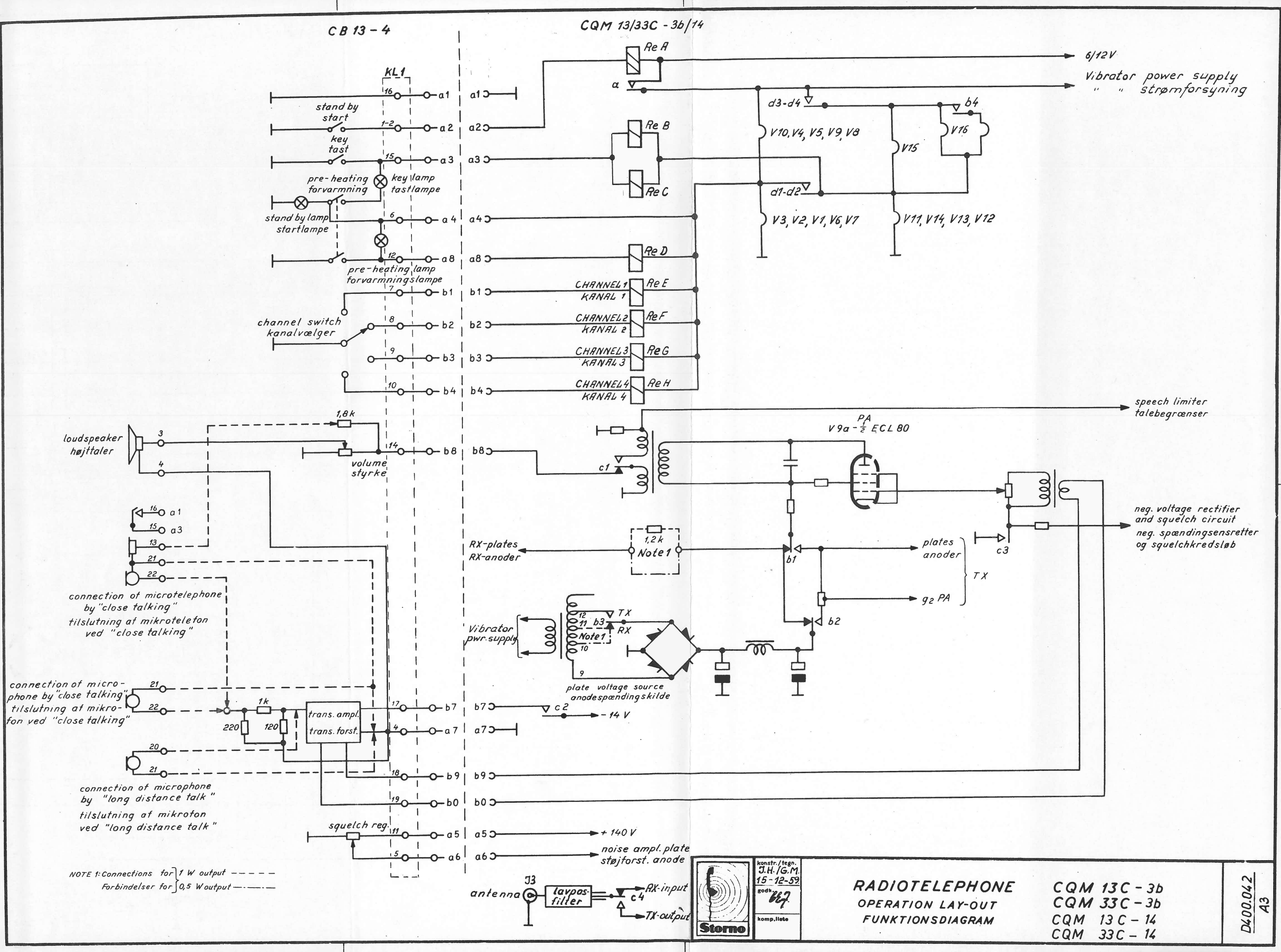


X-TAL SHIFT FOR 6 CHANNELS

KRYSTALSKIFT FOR 6 KANALER

type nr. 10.661 f

D 9626

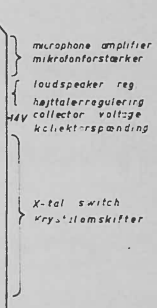
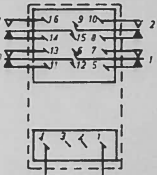
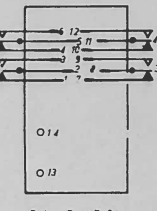
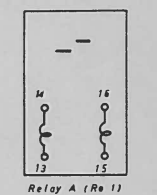


Note 2 Voltages and currents
are approximate and
for reference only.
They are measured
under the following
conditions:

1. 50 or 12.6V supply voltage
2. Receiver stand-by and without antenna signal
3. Transmitter keyed
4. Voltages and currents are measured with a 20000 n/V meter

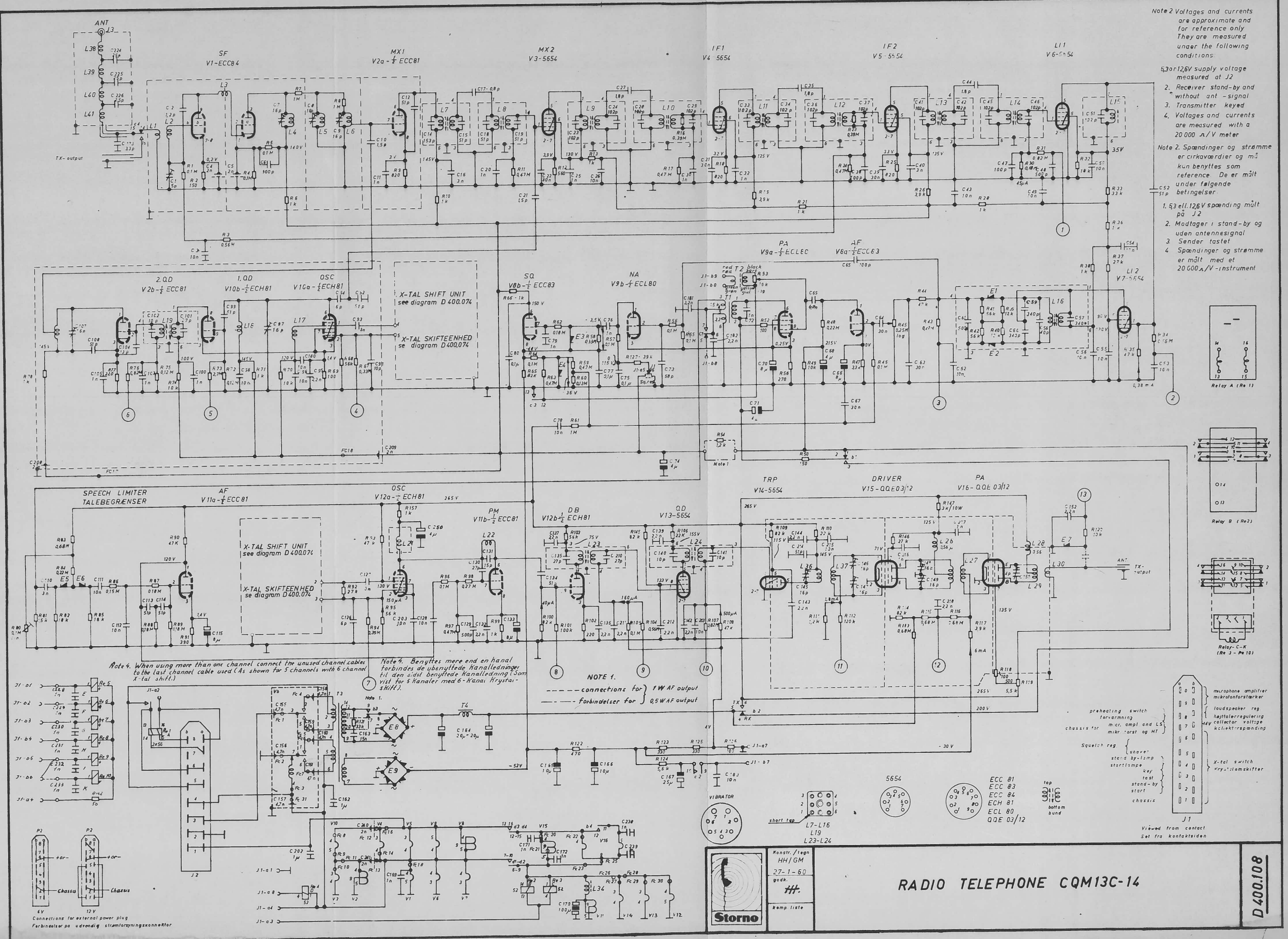
Note 3 Spændinger og strømme
er cirkaværdier og må
kun benyttes som
reference. De er målt
under følgende
betingelser:

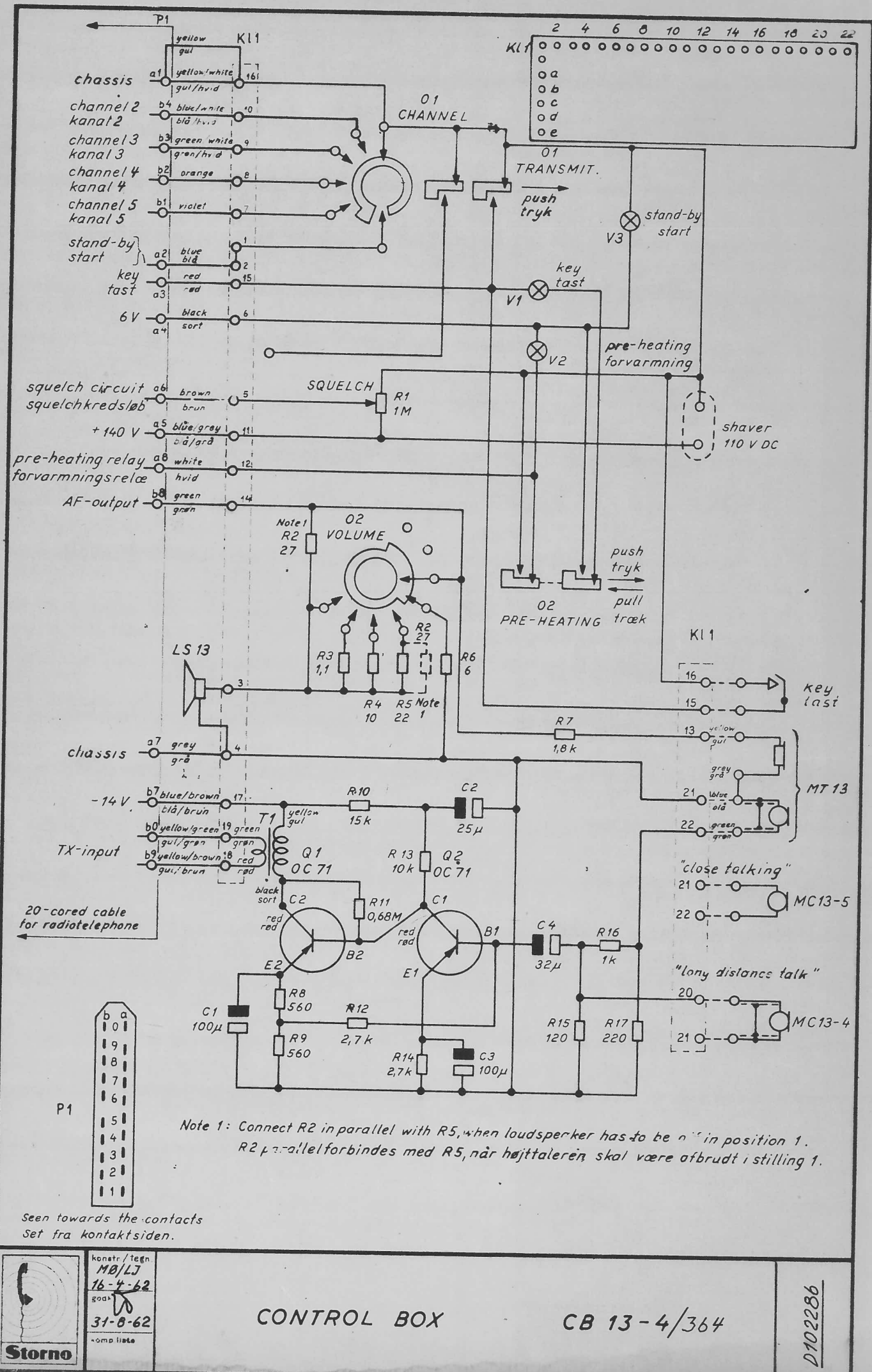
1. 50 eller 12.6V spænding målt
på J2
2. Modtager i stand-by og
uden antennesignal
3. Sender tæstet
4. Spændinger og strømme
er målt med et
20000 n/V-instrument



Viewed from contact
Set fra kontaktsiden

D400.108



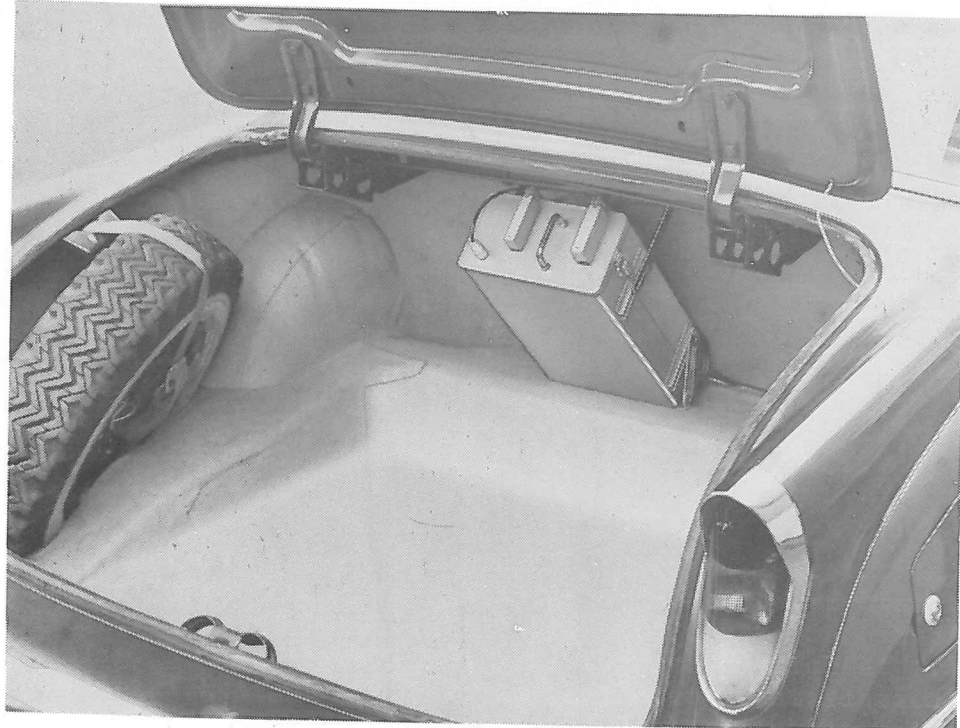


1. Indledning

Vi håber, at denne installationsvejledning må være en hjælp for den radiotekniker, der skal installere et "STORNOPHONE" radio-telefonanlæg. Fra fabrikens side er der gjort alt for at fremstille et teknisk fuldkomment anlæg. En dårlig installation vil imidlertid betyde en nedsættelse af anlæggets effektivitet og kan give anledning til ubehagelige driftsforstyrrelser.

Gennem hidtil foretagne installationer i fabrikens installationsafdeling og hos vore distriktsrepræsentanter har vi samlet et omfattende erfaringsmateriale, som vi i denne vejledning stiller til Deres disposition. I det efterfølgende har vi lagt særlig vægt på klart at belyse de installationspunkter, som erfaringsmæssigt kan volde vanskeligheder. Det er derfor vigtigt, at anvisningerne i disse afsnit følges meget nøje.

Såfremt De mener, at visse afsnit ikke er tilstrækkeligt klart beskrevet, eller De kan give forslag til bedre installationsmetoder, bedes De venligst meddele os dette.



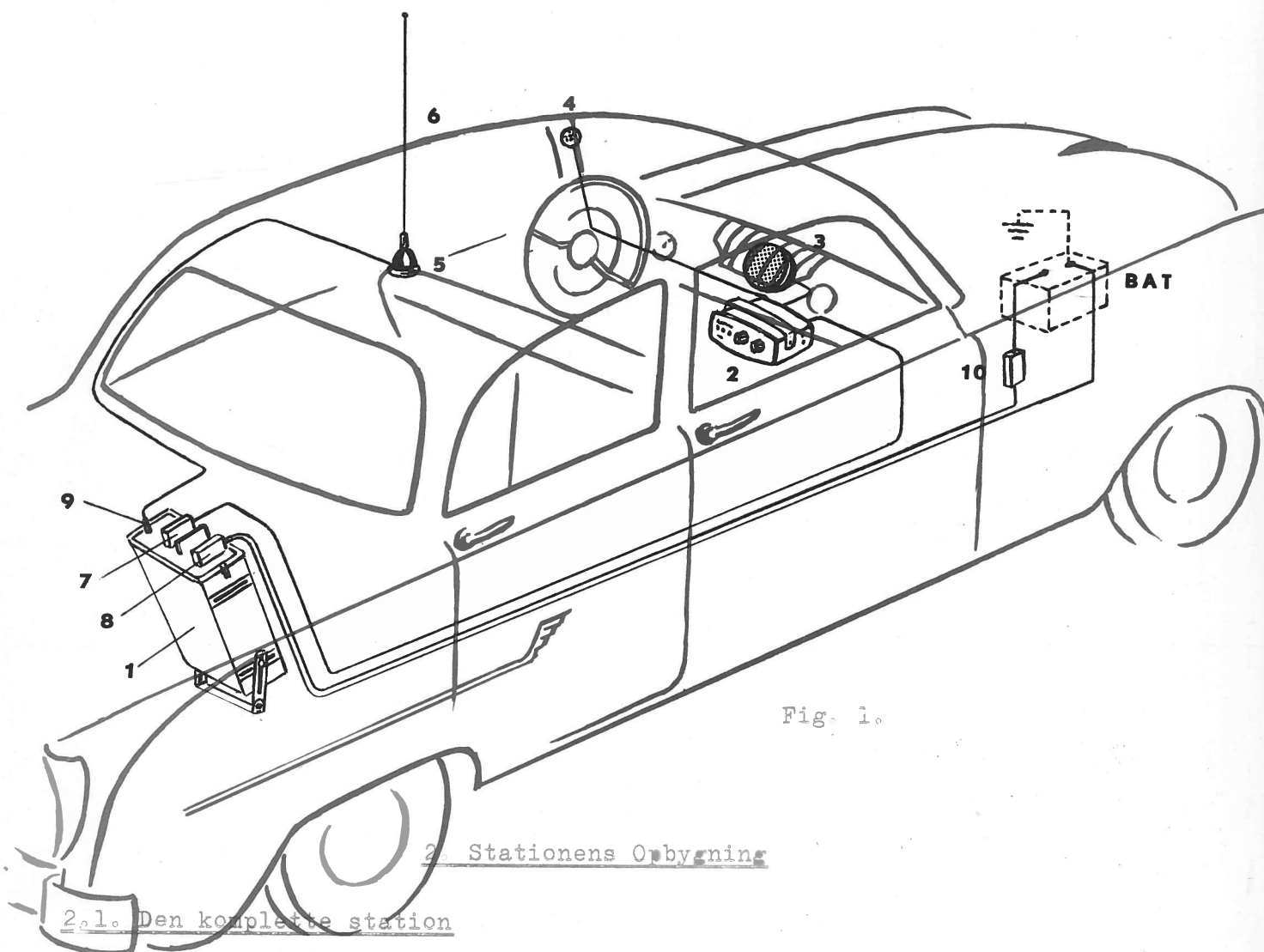


Fig. 1.

2. Stationens Opbygning

2.1. Den komplette station

Et komplet "STORNOPHCNE" anlæg omfatter følgende dele:

1. Stationskasse type CQ-Mx3-10/11/12/13 med ophængningsbøjler.
2. Betje ingsbox type CB13-4 med ophængningsbøjle.
3. Højttaler type LS 3 med ophængningsbøjle og 2m kabel.
4. Mikrofon type MT14 med ophængningsanordning og 3m skærmkabel.
5. Antennesokkel med fastspændingsmetrik.
6. Piskantenne type ANx3 med bajonetfatning.
7. 20-polet Tuchel konnektør med hus til styrekabel.
8. 20-polet Tuchel konnektør med hus til batterikabel.
9. Antennekonnektør PL259 med adaptor UG176/U.
10. Sikringsholder "SLYDLOK" nr. X30341 med:
 - 15 cm sikringstråd 0,25 mm sølv til 24 volt.
 - 15 cm sikringstråd 0,35 mm sølv til 12 volt.

Et normalt Storno installationssæt, der leveres i en tilbehørspose, indeholder følgende materialer:

- 6 m 20-korets $0,35 \text{ mm}^2$ styrekabel.
- 12 m 10 mm^2 batterikabel PVT.
- 4 m antennekabel type RG54A/U.
- 2 stk. 16 mm^2 batterikabelsko.
- 1 stk. grå lynlås på plasticlæred.
- 4 stk. selvskærende rundhovede skruer nr. 4, 16 mm lange ($\frac{5}{8}$ "').
- 4 stk. selvskærende rundhovede skruer nr. 6, 6,5 mm lange ($\frac{1}{4}$ "').
- 6 stk. selvskærende rundhovede skruer nr. 8, 13 mm lange ($\frac{1}{2}$ "').
- 4 stk. selvskærende rundhovede skruer nr. 10, 13 mm lange ($\frac{1}{2}$ "').
- 12 stk. selvskærende rundhovede skruer nr. 12, 19 mm lange ($\frac{3}{4}$ "').
- 10 stk. skiver $16 \times 5 \times 1$ mm.
- 1 tube lim til fastgørelse af lynlåsen.

Det ovennævnte antal af selvskærende skruer og skiver er større end det, der normalt vil blive anvendelse for.

3. De Enkelte Deles Anbringelse og Montering

3.1. Stationskassen

Stationskassen, som indeholder sender, modtager og transistorenhed, monteres normalt i køretøjets bagagerum. De 2 indstillelige ophængningsbøjler giver mulighed for anbringelse af stationskassen på den plads i bagagerummet, hvor den er til mindst gene. Stationskassens sideflader skal dog altid være lodrette. I fig. 2 er vist nogle eksempler på montering af stationskassen. Man bør dog undgå at anbringe anlægget på en sådan måde, at det kan tildækkes med bagage, hvorfod varmeafgivelsen ned sættes eller hindres helt.

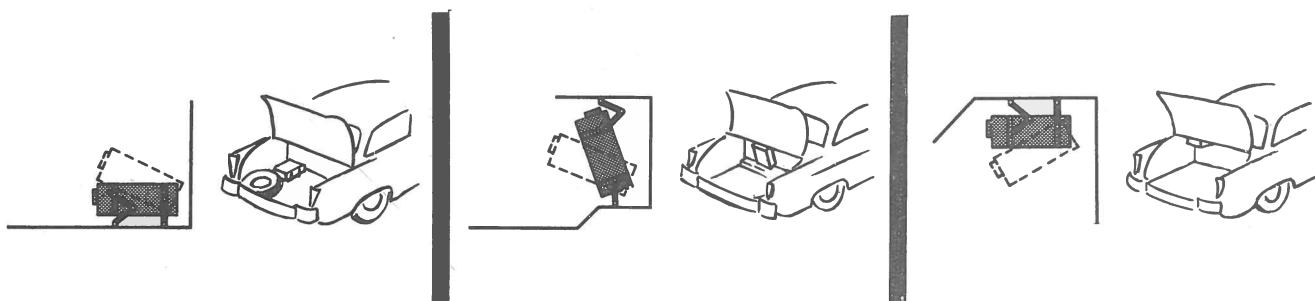


Fig. 2.

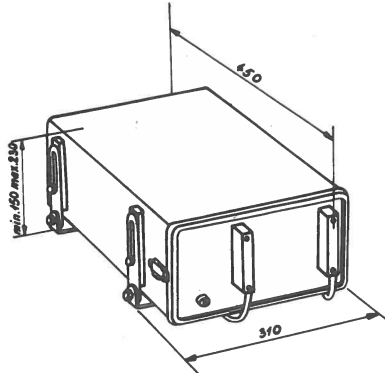


Fig. 3.

På skitsen i fig. 3 er angivet hoveddimensionerne for stationskassen med de to op hængningsbøjler.

Ophængningsbøjlerne kan anvendes som målelærer ved opmærkningen til fastspændingshullerne. Hul diameter skal være 2,5 mm, hvilket passer til de medfølgende selvskærende skruer (nr. 12, 19 mm lange).

3.2. Antennesoklen

Erfaringerne har vist, at en antennen er mest effektiv, når den er anbragt på køretøjets tag, idet andre placeringer, f.eks. på bagagerumsklappen, kan medføre en uønsket retningsvirkning.

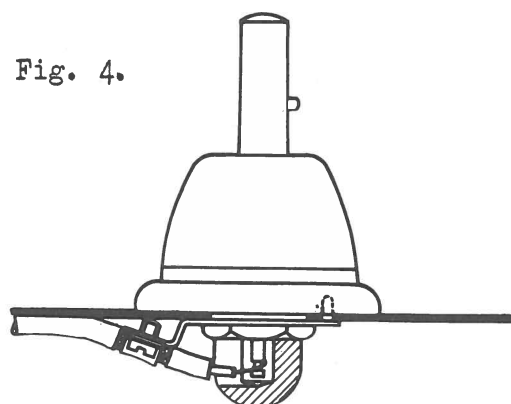
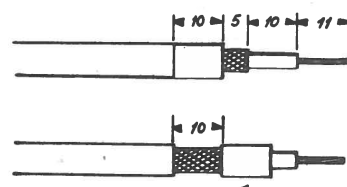
Hullet i taget til antennesoklen skal have en diameter på 16 mm. Det såkaldte Q-max skære værktøj fås i denne standardstørrelse (5/8"). Først opmærkes det punkt, hvor antennen ønskes placeret, idet man dog skal sørge for at undgå køretøjets eventuelle karosserispanter eller indtræksbøjler. Derpå bores igennem taget (8 mm), men ikke gennem indtrækket, da man derved risikerer, at dette beskadiges. Med en nål afmærkes hullet i indtrækket, og lynlåsen limes på stoffet midt for hullet ved hjælp af den medfølgende lim, som fordeles jævnt på hele lynlåsens læredflade og derefter hurtigt anbringes på plads. Tørretiden skal mindst være 30-40 minutter. Pas på, at der ikke kommer lim udenfor lynlåsen, da det er næsten umuligt at fjerne limen igen.

Normalt anbringes lynlåsen på tværs af køretøjetts længderetning af hensyn til antennekablet (se også skitsen i fig. 1). Når limen er tør, skæres indtrækket op inde i lynlåsen med en skarp kniv eller et barberblad. Hullet i taget skæres derpå ud med et Q-max skære værktøj. For at sikre en god stelforbindelse skal lakken skrabes omhyggeligt af ca. 5 mm ind fra hullets kant. Såfremt der mellem tag og indtræk findes et lag tjærepap eller lignende isolationsmateriale, må dette omhyggeligt fjernes omkring hullet. Derefter opmærkes hullet til aflastningsbøjlens styretap (3 mm).

Antennekablets montering i antennesoklen skal foretages meget omhyggeligt, og den korrekte fremgangsmåde er vist i fig. 4.

Ved hjælp af en søgefjeder føres antennekablet ned til stationskassen mellem indtræk og tag. I visse tilfælde kan det være nødvendigt at løsne stofindtrækket for at føre kablet igennem.

Fig. 4.



Antennekonnektoren kan nu monteres på antennekablet. Man skal her navnlig være omhyggelig med skærmstrømpens løse ender, der kan skabe kortslutning til inderlederen. Kablet må ikke afkortes så meget, at det udøver træk i stationskassen. Antennekablets rette montering i antennekonnektoren er vist i K 9575.

3.3. Betjeningsboxen



Betjeningsboxen bør placeres indenfor førerens rækkevidde og i sådan en position, at indikatorlamperne på forpladen kan ses. Ophængningsbøjlen skrues af betjeningsboxen og anvendes som målelære ved opmærkningen af de nødvendige fastgøringshuller. Der bør være fri adgang til stikdåsen på boxens højre side (tilslutning af elektrisk barbermaskine).

3.4. Højttaleren



Højttalerboxen bør placeres med retning mod føreren, f.eks. bag instrumentbrædtets gitter eller under biltaget. I D9583 er vist, hvorledes højttalerkablet skal forbindes til betjeningsboxen.

3.5. Mikrofonen

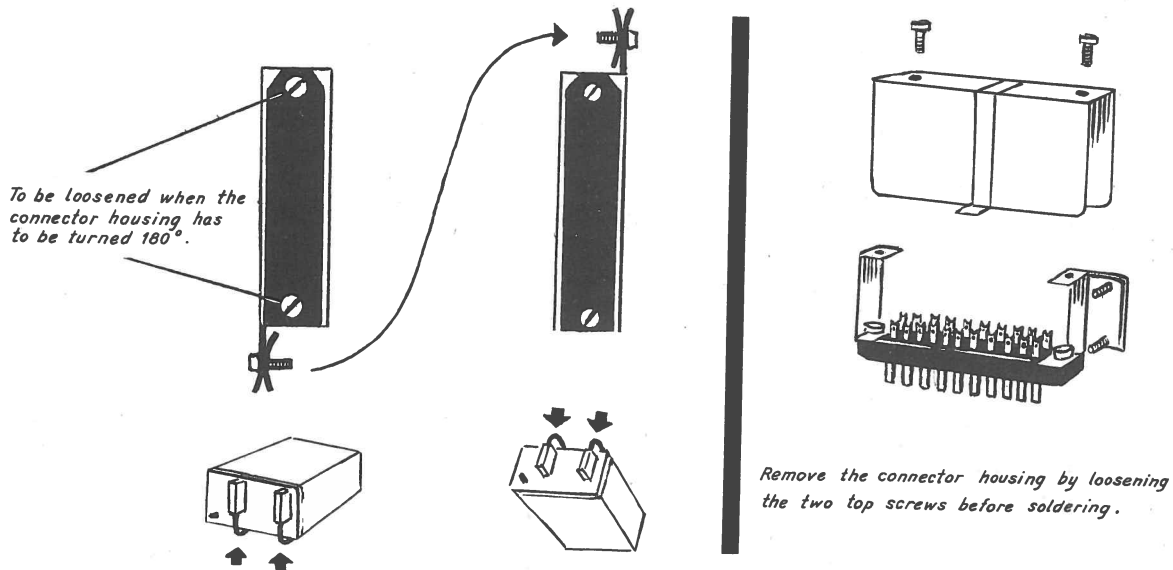


Mikrofonen placeres ud for føreren. I almindelighed vil de mest velegnede fastgøringssteder være over venstre vinduesprosse eller på instrumentbrædtet foran føreren.

Mikrofonbeslaget kan bøjes i den facon, som er mest formålstjenlig. Dog bør nogen forsigtighed udvises for at undgå, at lakken skal springe. Mikrofonkablet tilsluttes betjeningsboxen, som vist i D9583.

Før kablerne loddes fast i konnektorerne bør man afgøre, om kablerne skal føres over eller under stationskassen. Selve konnektoren har en bestemt op og ned retning, men konnektorkassetten med kabelklemmen kan drejes 180°.

3.6.



Remove the connector housing by loosening the two top screws before soldering.

3.6. Styrekabel

Dette kabel forbinder stationskasse og betjeningsbox. Normalt kan kablet trækkes under måtterne i bunden af køretøjet, og hvor dette er muligt, bør denne kabelføring anbefales. I nogle tilfælde forhindrer karosserikonstruktionen denne kabelføring, og det bør da forsøges, om kablet med en træktråd kan "fiskes" mellem indtræk og tag over dørene. Lader dette sig heller ikke gøre, må kablet føres under vognbunden, og kablet bør da have en passende mekanisk beskyttelse, f.eks. en gummi- eller plasticslange. Ved denne kabelføring skal kablerne fastgøres omhyggeligt, ligesom de skal holdes fri af alle bevægelige dele som bremsekabler, fjedre, støddæmpere, kardanaksel, bagtøjsophæng, m.m. og varme dele som motorblok, udstødningsrør, lyddæmper og lignende.

Den ene ende af det 20-korede styrekabel loddes på betjeningsboxen og på den anden ende loddes multistikket. Begge disse monteringer er vist i D9559.

Bemærk: Ved lodninger må der under ingen omstændigheder anvendes syreholdig loddepasta, loddevand eller lignende. Lodningerne skal foretages med harpiksfyldt loddetin af god kvalitet.

3.7. Batterikabler

De to batterikabler kan med fordel lægges sammen med styrekablet, specielt såfremt kablerne skal trækkes under køretøjets bund. Sikringsholderen monteres nær ved akkumulatoren og forbindes til

den IKKE stelforbundne pol. Kabelskoene loddes omhyggeligt (svær loddekolbe nødvendig). Sikringstråd bør ikke isættes holderen før hele installationsarbejdet er afsluttet.

Bemærk: Sikringsholderen skal anbringes i det kabel, som er forbundet til den IKKE stelforbundne batteripol.

Multistikket P2 monteres som vist i D10514 og den valgte monteringsmåde afhænger af, om køretøjet har et 12 V eller et 24 V batteri. Det er vigtigt, at batteriledningerne tilsluttes som vist på tegningen. De nødvendige strapninger udføres bedst med relativt tyndt, blankt monteringstråd (1 mm^2).

4. Idriftsætning

Der monteres sikringstråd i sikringsholderen (tyk tråd for 12 volt, tynd tråd for 24 volt).

Anlægget er justeret på fabrikken, hvorfor efterjustering normalt ikke er nødvendig. Disponeres der over et Storno serviceinstrument S105 eller et tilsvarende instrument, kan senderens udgangseffekt med fordel kontrolleres og finjustering foretages.

"Stornophone" er normalt beregnet for 12.6 V eller 25.2 V batterispænding. Spændingsafvigelser på mere end $\pm 20\%$ må absolut undgås, da sådanne afvigelser kan beskadige de i anlægget varende rør. Sådanne skader dækkes ikke af Stornos normale garanti.

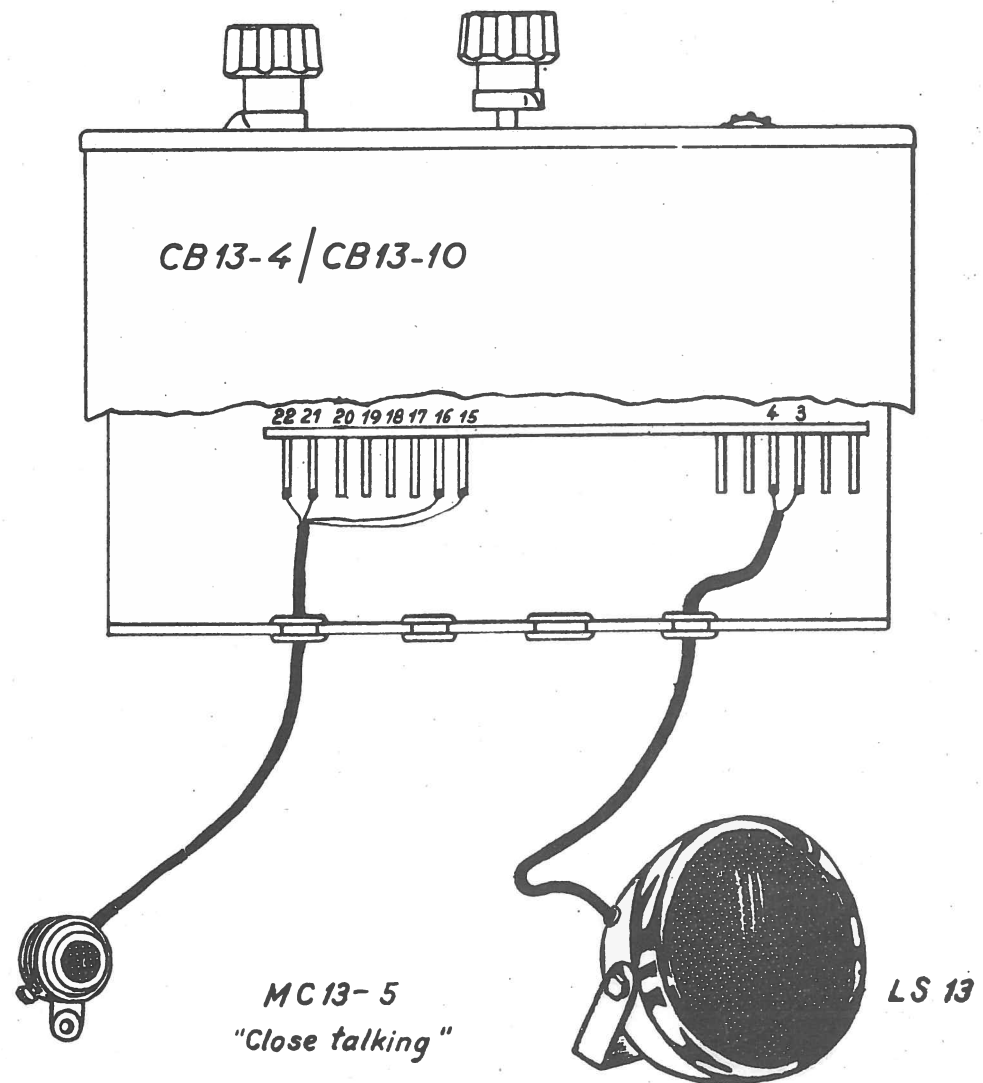
5. Støjdæmpning

I visse tilfælde er det nødvendigt at foretage støjdæmpning af en bils elektriske anlæg for at undgå støj i radioanlægget. Støjen kan hidrøre fra såvel tændingsanlægget som fra lysanlægget, men støjen genererer normalt ikke en radiotelefon, så lange vognen befinder sig tæt ved hovedstationen. Befinder køretøjet sig imidlertid i større afstand fra hovedstationen, hvor signalstyrken er relativ lav, vil støjen kunne høres i højttaleren under modtagning.

En virkelig støjdæmpning af bilens elektriske anlæg kan være ret kostbar, men et tilstrækkelig godt resultat vil som regel kunne opnås med forholdsvis få og enkle midler.

I mange tilfælde vil det være tilstrækkeligt at indsætte en dæmpe-modstand (nr. 7109) i kablen mellem tændspole og strømfordelerdæksel så tæt på sidstnævnte som muligt. En yderligere undertrykkelse af tændstøj opnås ved at anvende tændrør med indbygget støjdæmpningsmodstand. Ved at anvende tændrør med indbygget modstand i stedet for at indsætte modstande i tændrørsledningerne, opnår man at få anbragt modstanden så nær ved tændrørets gnistgab som det er muligt, hvilket gør støjdæmpningen særlig effektiv. Ved at anvende tændrør med trådviklet modstand kan man nøjes med at bruge en modstand på $5 \text{ k}\Omega$ i stedet for de almindeligt anvendte modstande på $10 - 15 \text{ k}\Omega$, idet den trådviklede modstand undertrykker støjen mere effektivt end en kulmodstand af tilsvarende ohmværdi. Man undgår herved at svække tændingsgnisten mærkbart. Husk dog altid at forøge tændrørsledningernes elektrodeafstand med $0,1 \text{ mm}$, når der anvendes modstand i tændrørsledningerne eller i tændrørerne.

Støj fra lysanlægget undertrykkes ved passende anbragte kondensatorer. Som regel er det tilstrækkeligt at anbringe en støjdæmpningskondensator (f.eks. Bosch EMKO 15Z10Z) i ledningen fra tændspolens klemme (ledningen til tændingslåsen) samt i den afgående batteriledning fra dynamorelæts klemme. Kondensatoren skal anbringes så tæt ved de respektive klemmer som det er praktisk gørligt. Viskermotoren kan dæmpes med en almindelig støjdæmpningskondensator (f.eks. Bosch EMKO 9Z9Z).

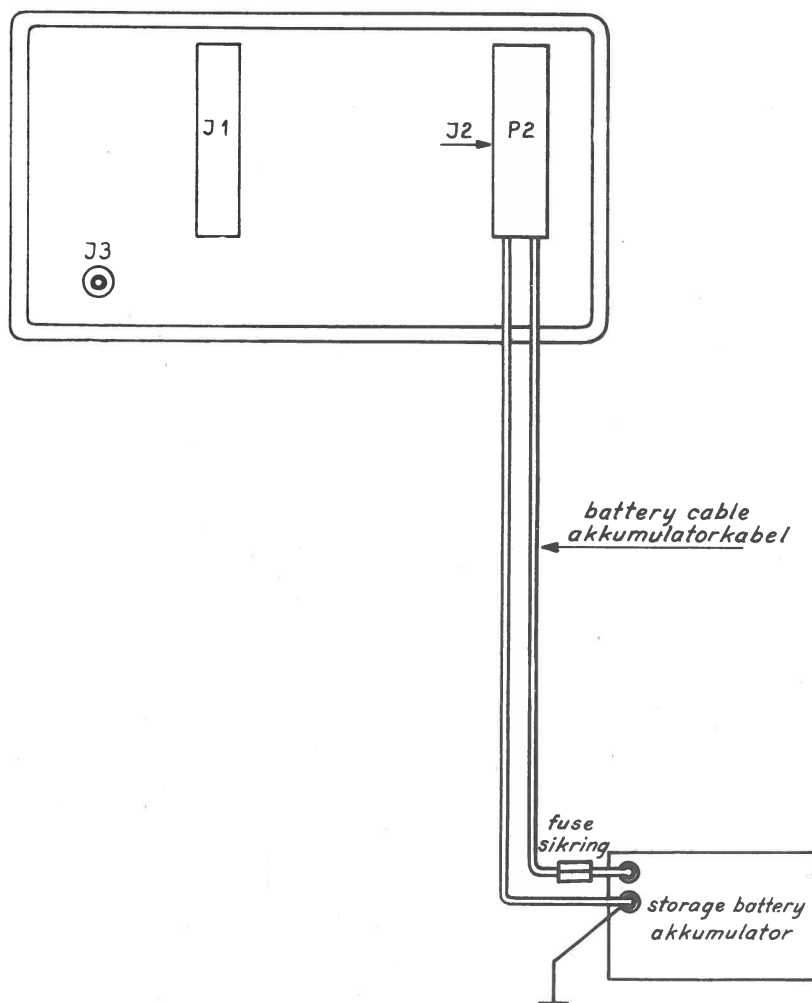


Tegn.
B.R. L.7
29-12-58
godk. *B.*
29-12-58
kompl. note

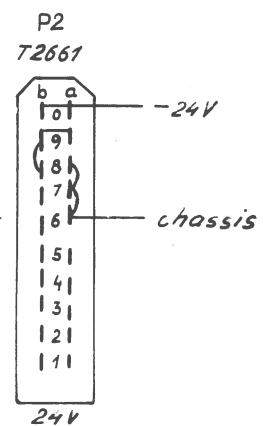
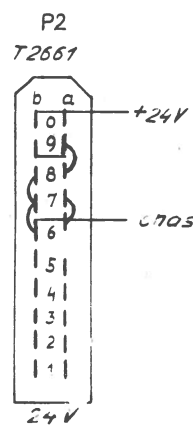
STORNOPHONE

CONNECTION OF MICROPHONE AND
LOUDSPEAKER TO THE CONTROL BOX
TILSLUTNING AF MIKROFON OG
HØJTTALER TIL BETJENINGSBOXEN

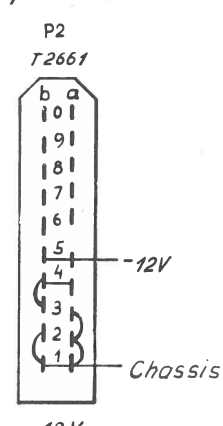
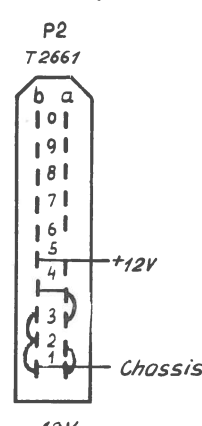
D 9705



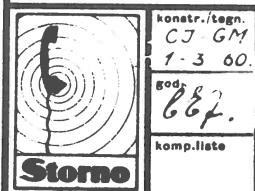
CQMX3C-11/13



CQMX3C-10/12



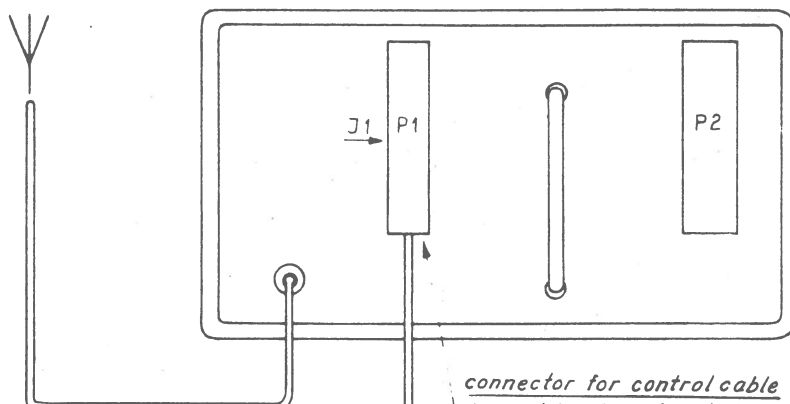
Seen from the soldering side
Set fra loddesiden



STORNOPHONE
CONNECTION TO STORAGE BATTERY
TILSLUTNING TIL AKKUMULATOR

CQMX 3C-10
CQMX 3C-11
CQMX 3C-12
CQMX 3C-13

Antenna

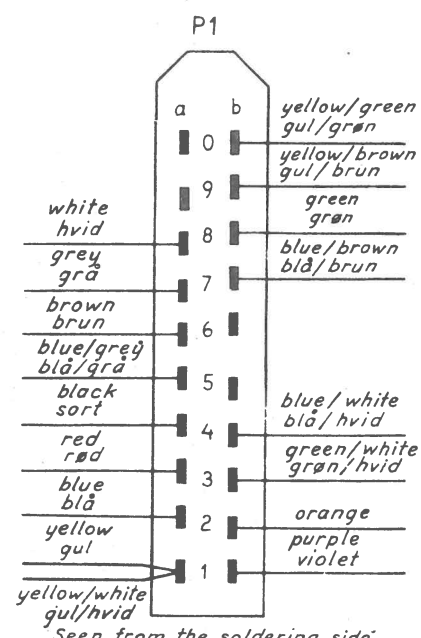


connector for control cable
konnektor for styrekabel

Max. 30 ft. 20 x .35 mm²
Max. 10m lang. 20 x 0,35 mm²

CB 13-4/10

1		
2	a2	blue blå
3		
4	a7	grey grå
5	a6	brown brun
6	a4	black sort
7	b1	purple violet
8	b2	orange orange
9	b3	green/white grøn/hvid
10	b4	blue/white blå/hvid
11	a5	blue/grey blå/grå
12	a8	white hvid
13		
14	b8	green grøn
15	a3	red rød
16	a1	yellow/white gul/hvid
17	{	yellow gul
18	b7	blue/brown blå/brun
19	b9	yellow/brown gul/brun
20	b0	yellow/green gul/grøn
21		
22		



Seen from the soldering side.
Set fra loddesiden.



konstr. tegn
BR / LJ
10-11-58
godk. *JL.*
10-11-58
kompliste

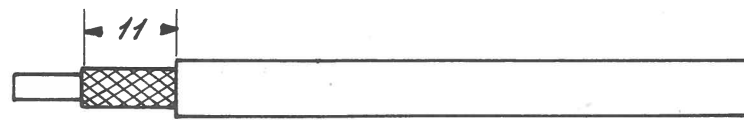
STORNOPHONE

CONNECTION OF CONTROL CABLE AND ANTENNA
TILSLUTNING AF STYREKABEL OG ANTENNE

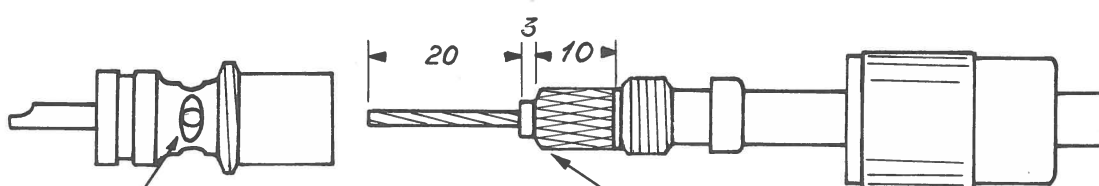
D9559



1



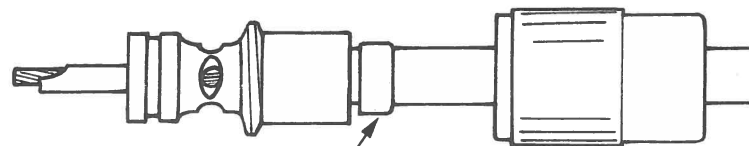
2



3

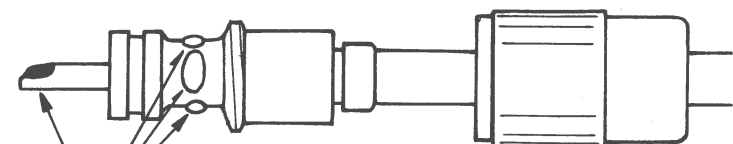
*all 4 holes are slitted by a round-file.
alle 4 huller opslidses med rundfil.*

*the screen is bent over the adaptor bushing.
skærmen bukkes over adaptorbøsningen.*



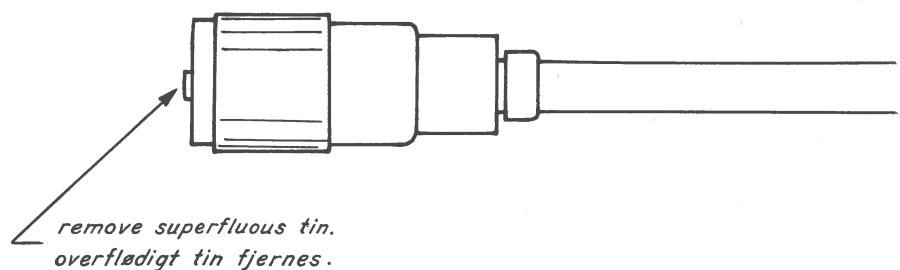
4

*should be screwed tightly.
skrues hårdt sammen.*



5

*to be soldered - is cooled in spirits after each soldering.
tinloddes - ørkøles i sprit efter hver lodning.*



6

*remove superfluous tin.
overflødig tin fjernes.*



konstr./tegn.
O.K./E.O.
11-11-58
godk. *K*
11-11-58
komp.liste
12-12-60

CABLE MOUNTING

Connector: AMPHENOL
PL 259 + UG 176 | U
PL 259 + UG 175 | U

KABELMONTAGE

Cable:
RG 54 A | U
RG 58 A | U

K 9575

Fejlretning og Vedligeholdelse

1. Almindeligt

1.1. Generelt

Fejlretning og vedligeholdelse bør kun udføres af fagkyndigt personale, som råder over de nødvendige måleinstrumenter.

For at lette lokaliseringen af de enkelte komponenter, er de vigtigste komponenters position afmærket på chassiset. Denne afmærkning svarer til afmærkningen af komponenterne i hoveddiagrammet og gælder rør, relæer, spoledåser, transformatorer, filterspoler, m.m.

På hoveddiagrammet er angivet de vigtigste spændinger på rør og strømtilførsler. Til måling og kontrol skal benyttes et instrument med høj indre modstand (20.000 Ω/V). De angivne værdier er omtrentlige og kan variere en del fra station til station. Spændingsværdierne skal derfor kun tjene som en rettesnor under en eventuel fejlfinding.

1.2. Målepunkter

For i videst muligt omfang at lette fejlretning og vedligeholdelse er radioudstyret forsynet med jævnstrømsmålepunkter, hvor man på en simpel måde kan få et relativt mål for de vigtigste spændinger og strømme i sender og modtager.

Målepunkterne er på chassiset afmærket med et tal indskrevet i en cirkel, f.eks. ③. Selve målepunktet er udformet som en bøsnings i en isolator. Målingerne skal foretages med et 50-0-50 μA instrument, f.eks. et STORNO serviceinstrument SI04 eller SI05, som begge har en indre modstand på 1 k Ω . Alle målinger skal foretages i forhold til stel.

Pas på, at det følsomme instrument ikke beskadiges ved med målepinden at ramme spændingsførende dele.

1.3. Liste over målepunkter

- 1 Gitterstrøm i 1. begrænser (L11 - V6)
- 2 Gitterstrøm i 2. begrænser (L12 - V7)
- 3 Diskriminatordudslag (normalt 0)
- 4 Modtageroscillatorens gitterstrøm (OSC - V10a)
- 5 1. multiplikatortrins gitterstrøm (V10b)
- 6 2. multiplikatortrins gitterstrøm (V2b)
- 7 Senderoscillatorens gitterstrøm (OSC - V12a)
- 8 1. multiplikatortrins gitterstrøm (V12b)
- 9 2. multiplikatortrins gitterstrøm (V13)
- 10 3. multiplikatortrins gitterstrøm (V14)
- 11 Drivertrinnets gitterstrøm (V15)
- 12 Udgangstrinnets gitterstrøm (PA - V16)
- 13 Spænding over antennekablet.

1.4. Måleblad

Under slutprøven på Storno eftertrimmes og inspiceres radioudstyret og samtidig noteres målepunkternes måleværdier på et specielt måleblad, som følger med hver station. Ved senere kontrolmålinger bør måleresultaterne altid vurderes i forhold til tidligere målinger og målebladet. Af hensyn til sammenligningen bør målingerne altid foretages ved den driftsspænding, som er specifieret på målebladet.

Der kan almindeligvis tillades et fald i måleresultaterne på ca. 30% før de enkelte trins effektivitet er så forringet, at rørudskiftning er nødvendig.

Såfremt der konstateres et stærkt fald ved en af målingerne, kan man prøve at efterjustere kredsene, før rørudskiftningen foretages. Ved rørudskiftning skal både anode- og gitterkreds efterjusteres.

1.5. Forebyggende service

Ved rutinemæssigt at inspicere og kontrollere anlægget holdes det på topydelse. Hvor hyppigt disse eftersyn skal foretages, afhænger af de forhold, som udstyret arbejder under. Et rutineeftersyn bør omfatte følgende punkter:

- a. Kontrol af målepunkterne ved sammenligning med målebladet.
- b. Rensning af udstyret for støv og snavs med en blød børste. Trykluft kan anvendes med forsigtighed, men pas på ikke at forrykke justeringerne.
- c. Kontrol af rørene og udskiftning af defekte rør. Den nemmeste måde at prøve et rørs effektivitet på er at udskifte det med et godt rør af samme type.
- d. Kontrol af driftsspændingen. Den bør ikke falde udenfor værdierne 6,6 V $\pm 10\%$, 13,2 V $\pm 10\%$ og 26,4 V $\pm 10\%$.
- e. Eftersyn af akkumulatoren. Den bør holdes i orden med tilstrækkeligt destilleret vand og gode, ikke tærede klemforbindelser.

NB: Punkterne d og e vedrører kun mobile anlæg.

Det er meget vigtigt, at sender- og modtagerfrekvenserne er helt nøjagtige, og de bør derfor kontrolleres jævnligt. Senderfrekvensen bestemmes udelukkende af senderkrystallet, hvorimod modtagerfrekvensen - foruden at være bestemt af modtagerkrystallet - også bestemmes af 2. mellemfrekvens (455 kHz), der lettest kontrolleres med en krystalgenerator på 455 kHz.

Hvis radiotelefonsystemets hovedstation vides at have nøjagtige sender- og modtagerfrekvenser, kan de mobile stationers frekvenser eventuelt lægges ind efter hovedstationens frekvenser.

2. Senderdelen

2.1. Generelt

Målepunkterne 7,8,9,10,11,12 og 13 er forbundet med kredsløb i senderdelen, og de benyttes ved justering af højfrekvenskredsene, idet samtlige kredse skal justeres til maximum udslag ved måling af det efterfølgende rørs gitterstrøm. Vedrørende justering henvises iøvrigt til afsnittet om justering.

2.2. Krystaloscillatoren

Krystaloscillatorens frekvenser er på fabrikken justeret til krystallets påstemplede værdi med en nøjagtighed, som er bedre end 3×10^{-6} . I flerkanaludstyr skiftes der mellem de forskellige krystaller ved hjælp af relæer. Relækontaktfjedrenes kapacitet indgår i krystallets belastningskapacitet, og har derfor indflydelse på krystalfrekvensen. Hvis man således fjerner et af skifterelæerne i krystalskifteenhed, flytter frekvensen sig på samtlige øvrige krystaller. Derfor skal relæerne altid være isat skifteenheden, inden justering påbegyndes. Om nabokrystallerne er isat eller ej betyder derimod intet ved justeringen.

2.3. Modulationsforstærkeren

Modulationsforstærkeren er justeret og kontrolleret på fabrikken, og medmindre der er opstået en direkte fejl i forstærkeren, som f.eks. nødvendiggør udskiftning af en komponent, bør den ikke efterjusteres.

Til brug ved fejlfinding i modulationsforstærker og talebegrænser kan angives følgende omtrentlige signalværdier:

Målested	50 kHz	25 kHz
Spænding på V9a, ben 9	ca. 0,3 V	ca. 0,2 V
Spænding over R81	ca. 3,0 V	ca. 2,0 V
Spænding over R82	ca. 0,55 V	ca. 0,3 V
Spænding over C112	ca. 0,045 V	ca. 0,03 V
Spænding på V11a, ben 1	ca. 1,0 V	ca. 0,7 V
Spænding over R97	ca. 0,8 V	ca. 0,5 V

Bemærk: Målingerne i 50 kHz modellerne er foretaget ved $\Delta f = 5$ kHz og $f_m = 1000$ Hz, og i 25 kHz modellerne ved $\Delta f = 3,3$ kHz og $f_m = 1000$ Hz.

3. Modtagerdelen

3.1. Modtageroscillatoren

Oscillatorens gitterstrøm kan kontrolleres i målepunkt 4. Gitterstrøm er nødvendig for at oscillatoren svinger, og den er normalt ca. $30 \mu A$, men kan iøvrigt variere en del. Den må falde til ca. $12 \mu A$ før rørudskiftning er nødvendig.

Ved udskiftning af oscillatorrøret (V10a) bør krystalfrekvensen kontrolleres og eventuel efterjusteres med krystaltrimmerne C81 til C86. Kontrol af krystalfrekvensen foretages nemmest med et frekvensmeter, som kan måle med en nøjagtighed, der er bedre end $3 \cdot 10^{-6}$.

Ved udskiftning af rørene V2 og V10 skal rørenes gitter- og anodekredse efterjusteres. Udslagene i multiplikatorens målepunkter (5 og 6) kan tåle at falde til ca. $15 \mu A$, før rørudskiftning er nødvendig. Men husk altid at efterjustere kredsene før rørudskiftningen foretages, idet en for lille styregitterstrøm kan skyldes en forstemning af en af kredsene.

3.2. Mellemfrekvens- og begrænsertetrin

For at modtageren har fuld undertrykkelse af impulsstøj (f.eks. tændstøj og motorstøj), er det vigtigt, at mellemfrekvenskurven er symmetrisk omkring centerfrekvensen (455 kHz), samt at diskriminatorens

centerfrekvens ligger nøjagtigt på 455 kHz. En anden betingelse er, at diskriminatordraget - ved modtagning af senderen - ligger tæt ved 0 eller i nærheden af diskriminatordraget for modtagerens egenstøj. Afgivelsen bør ikke være mere end ca. 5 μ A.

Måleudslaget i målepunkt 1 er et udtryk for det modtagne signals styrke. Styregitterspændingen i 2. begrænser LI2 kan kontrolleres i målepunkt 2. Er modtageren forsynet med nye rør, er udslaget - målepunkt 2 stort allerede for modtagerens egenstøj, hvilket konstateres ved, at udslaget ikke forøges væsentligt, når antenneindgangen tilføres et signal. Udslaget for modtagerens egenstøj må imidlertid falde til ca. 15 μ A før det er nødvendigt at udskifte de foran varende rør.

Diskriminatorens jævnspænding kan kontrolleres i målepunkt 3. Ved modtagning af senderen må udslaget højst være forskudt ca. 5 μ A.

En eventuel forskydning kan skyldes:

- a) En afvigelse af senderfrekvensen.
- b) En afvigelse af modtagerens krystalfrekvens.
- c) En afvigelse af diskriminatorens resonansfrekvens.

Udskiftning af V4, V5, V6 og V7 kan finde sted uden efterjustering af kredsene.

3.3. Lavfrekvensforstærker

Rørene V8 og V9 kan udskiftes uden efterjustering. Med potentiometer R45 bør udgangseffekten indstilles til 0,5 W (1 W ved forhøjet udgangseffekt). For at lette fejlfinding angives følgende signalværdier, som kan måles med et almindeligt AF-voltmeter forskellige steder i lavfrekvensforstærkeren:

	50 kHz	25 kHz
Spænding over C61	5,6 V	3,7 V

Potentiometer R45 indstilles til ca. 0,1 V på styregitteret af V8a for $\Delta F = 10$ kHz ved 1000 Hz i en 50 kHz model og for 3,3 kHz ved 1000 Hz i en 25 kHz model.

Gittervekselspænding på V9a (0,5 W udgangseffekt): 2,2 volt.
Gittervekselspænding på V9a (1,0 W udgangseffekt): 2,5 volt.
Udgangsspænding over højttaler (0,5 W udgangseffekt): 1,3 volt.
Udgangsspænding over højttaler (1,0 W udgangseffekt): 1,8 volt.

3.4. Støjforstærker og squelchtrin

Som nævnt under 3.3. kan V8 og V9 udskiftes uden efterjustering, idet dog squelchpotentiometeret (der er ført ud på forpladen af kontrolboxen) bør indstilles på ny. Følgende spændingsværdier kan opgives:

	50 kHz	25 kHz
<u>Støjspænding</u>		
Mellem ben 4 på diskriminator og stel	3,4 V	2,0 V
Mellem ben 2 på V9b og stel	0,5 V	0,2 V
<u>Ensrettet støjspænding</u>		
Målt over R58 med et DC-voltmeter	-3,5 V	-5,0 V
<u>Katodespænding</u>		
Mellem ben 8n på V8b og stel (DV-voltmeter)	-44 V	-44 V

Ovennævnte værdier gælder, når der ikke er noget antennesignal eller udefra kommende støjspændinger på modtagerindgangen, samt når squelch-potentiometret i betjeningsboksen er stillet til maksimum lukning. Værdierne kan variere temmelig meget fra udstyr til udstyr uden at squelchfølsomheden forringes, idet variationerne udlignes ved indstilling af squelchpotentiometret.

Radiotelefon model "Stornophone"Justeringsforskrift1. Generelt

Før radiotelefonanlægget afsendes fra fabrikken bliver følgende foretaget:

1. Kvartskrystaller for de bestilte kanaler isættes anlægget.
2. Modtager og sender justeres og kontrolleres omhyggeligt.
3. Potentiometre til indstilling af modtagerens udgangseffekt og talebegrænserens klippeniveau i senderen justeres og fastlåses.
4. Sender- og modtagerfrekvenserne justeres med en nøjagtighed, som er bedre end 3×10^{-3} .

Justering ved idriftssætning

- a. Senderens PA-anodeafstemning justeres med den til anlægget hørende antenne tilsluttet antennekonnektoren.
- b. Senderens modulationsfølsomhed indstilles.

De to ovennævnte justeringer skal også foretages, når anlægget har været udtaget fra sit normale installationssted eller når anlægget overflyttes til et andet køretøj, skib eller lign.

Vedrørende fremgangsmåden for de nævnte justeringer henvises til punkt 2.1. og punkt 2.3. under afsnittet "Senderjustering".

ADVARSEL: Der bør udvises stor forsigtighed ved målinger af spændinger, strøm, etc. i anlæg med transistorstrømforsyning, specielt ved målinger på transformator T3's primærside. Selv en kortvarig kortslutning til stel med f.eks. en målepind kan ødelægge effekttransistorerne.

Denne justeringsforskrift kan anvendes i forbindelse med følgende Stornophone typer:

25 kHz kanalafstand	50 kHz kanalafstand
CQMx3C-12 (12,6 V)	CQMx3C-10 (12,6 V)
CQMx3C-13 (25,2 V)	CQMx3C-11 (25,2 V)
CQMx3C-14 (6,3/12,6 V)	CQMx3C-3b (6,3/12,6 V)
CQFx3C-14 (Netdrevet)	CQFx3C-3b (Netdrevet)

I justeringsforskriften refereres til en del måleinstrumenter, som er udviklet af Storno, men andet måleudstyr kan naturligvis anvendes, såfremt specifikationerne svarer til eller er bedre end specifikationerne for tilsvarende Stornotype. Det er underforstået, at der disponeres over de nødvendige servicefaciliteter såsom batteristrømforsyninger, ladeaggregat, m.v., således at de afprøvede anlæg kan forsynes med de korrekte spændinger (6,6 V, 13,2 V og 26,4 V jævnspænding samt 220 V vekselspænding $\pm 10\%$).

2. Senderjustering

Justering af senderen foretages i rækkefølgen:

- 2.1. Justering af multiplikator og udgangsforstærker.
- 2.2. Indstilling af talebegrænser.
- 2.3. Indstilling af modulationsfølsomhed.
- 2.4. Justering af oscillator.

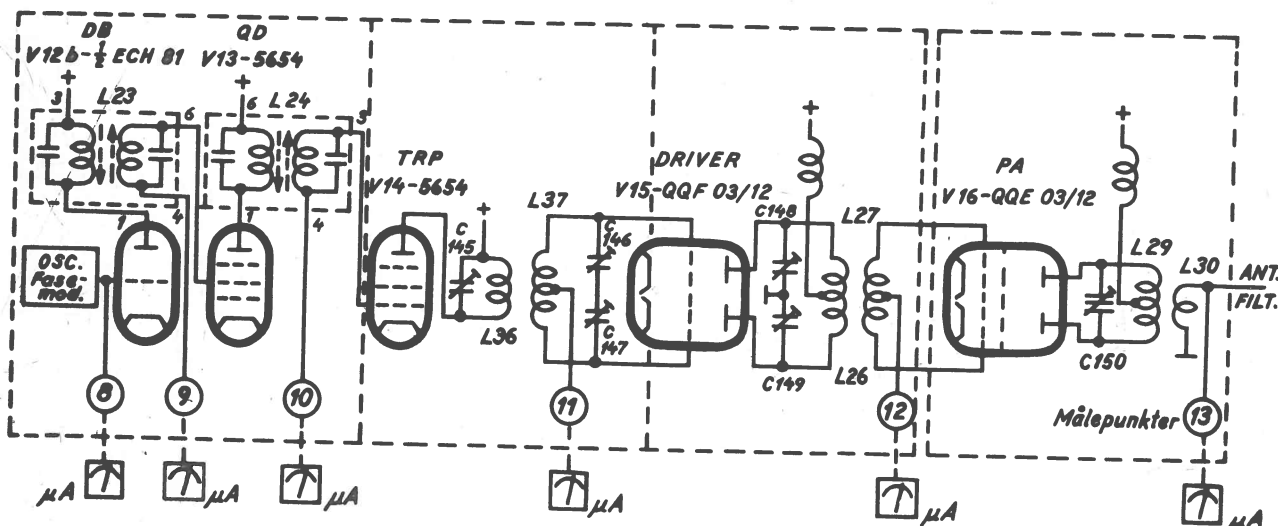
ADVARSEL! Tast aldrig senderen uden at antennen eller en kunstig belastning er tilsluttet antennekonnektoren.

BEMÆRK: Under justering på anlæg med mere end een kanal skal alle relæer være isat krystalskifteenheden, da relækontakternes kapacitet indgår i krystallets samlede belastningskapacitet. For anlæg med termostatstyret krystalovn bør justeringer ikke påbegyndes før krystalovnen har nået op på sin arbejds-temperatur, hvilket tager 5 - 10 minutter.

2.1. Justering af multiplikator og udgangsforstærker.

Nødvendige måleinstrumenter

1. 50-0-50 μ A instrument ($R_i = 1000 \Omega$), Storno type SI05.
2. Kunstig belastning (50Ω , min. 12-15 watt), Storno type DL11-1.



Tilslutning af μ A-instrument.

Fremgangsmåde

- a) Tilslut antennen eller kunstantennen og tast senderen.
- b) Tilslut μ A-instrumentet i målepunkt 8 og kontroller udslaget (ca. 30 μ A).
- c) Tilslut μ A-instrumentet i målepunkt 9 og juster L23 for maksimalt udslag (det kan være nødvendigt at justere nogle gange på primær- og sekundærkredsene).
- d) Tilslut μ A-instrumentet i målepunkt 10 og juster L24 for maksimalt udslag på instrumentet (det kan være nødvendigt at justere nogle gange på primær- og sekundærkredsene).
- e) Tilslut μ A-instrumentet i målepunkt 11 og juster C146 og C147, så kapaciteterne er omrent lige meget inddrejet. Juster C145 for maksimalt udslag på instrumentet. Juster derefter C146 og C147 lige meget for maksimalt udslag på instrumentet.

Bemærk: Koblingen mellem L36 og L37 er meget kritisk, og såfremt den af en eller anden grund er forandret, bør den genjusteres meget omhyggeligt.

- f) Tilslut μ A-instrumentet i målepunkt 12 og juster C148 og C149, så kapaciteterne er omtrent lige meget inddrejet. Juster dem sammen for maksimalt udslag på instrumentet.
- g) Tilslut μ A-instrumentet i målepunkt 13 og juster C150 for maksimalt udslag på instrumentet (det kan være nødvendigt at genjustere C148 og C149 for at opnå maksimal udgangseffekt). Juster koblingen mellem L29 og L30 for maksimalt udslag på instrumentet.

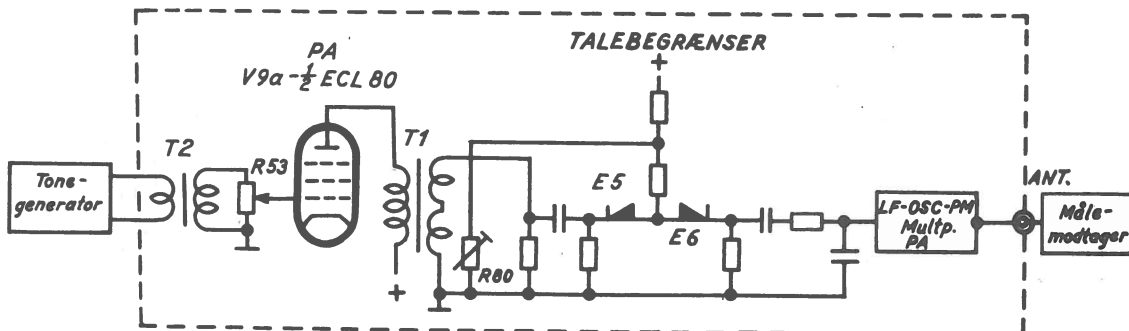
Specifikation

Såfremt den kunstige belastning også omfatter en effektindikator, skal denne vise mindst 10 watt for alle Stornophone typer.

2.2. Indstilling af talebegrenser

Nødvendige måleinstrumenter

1. Tonegenerator (udgangsimpedans = 600Ω).
2. Kunstig belastning (50Ω , min. 12-15 watt), Storno type DL11-1.
3. Målemodtager, kalibreret i frekvenssving (Storno type L22):
Områder: CQM/F13C-x: 146 - 174 MHz.
CQM/F33C-x: 68 - 88 MHz.



Tilslutning af måleinstrumenter.

Fremgangsmåde

- a) Indstil potentiometer R53 for maksimal følsomhed.
- b) Tast senderen.
- c) Indstil målemodtageren til senderens frekvens.
- d) Indstil tonegeneratoren til 1000 Hz og en udgangsspænding (ca. 0,2 V), der svarer til et frekvenssving på målemodtageren på 10 kHz for 50 kHz anlæg og 3,3 kHz for 25 kHz anlæg.
- e) Forøg den under d) angivne spænding 20 dB.
- f) Indstil potentiometret R80 således, at frekvenssvinget ikke overstiger 15 kHz for 50 kHz anlæg og 5 kHz for 25 kHz anlæg.

I stedet for lavfrekvensgenerator kan anlæggets mikrofon anvendes ved indstillingen af R80, idet potentiometret indstilles således, at der selv ved kraftig råben i mikrofonen ikke forekommer frekvenssving over 15 kHz for 50 kHz anlæg og 5 kHz for 25 kHz anlæg.

Specifikation

50 kHz anlæg: Maksimalt frekvenssving = ± 15 kHz.
 25 kHz anlæg: Maksimalt frekvenssving = ± 5 kHz.

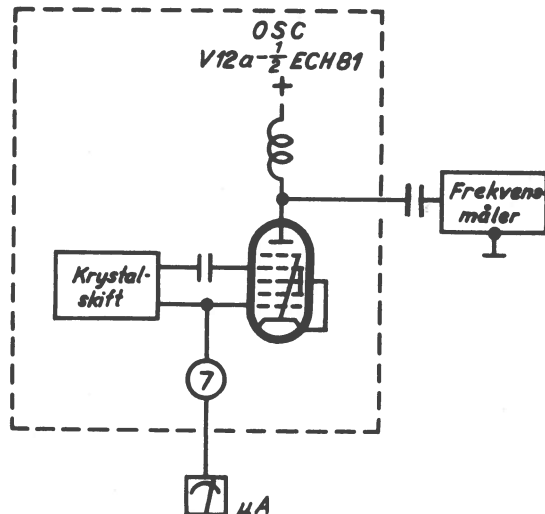
2.3. Indstilling af modulationsfølsomhed

Modulationsfølsomheden indstilles med potentiometer R53 og foretages bedst med en taleprøve, idet der ved prøven lyttes på den til anlægget hørende hovedstationsmodtager. Den endelige indstilling bør være et passende kompromis mellem forståelighed og modulationsdybde. Så snart der på hovedstationen konstateres forvringning ved en jævn opskruning af følsomheden (R53), bør opskruningen standses. Eventuelt stilles potentiometret en smule tilbage.

2.4. Justering af oscillatorNødvendige måleinstrumenter

1. Frekvensmåler, der dækker nedenstående frekvensområder med en nøjagtighed, som er større end 1×10^{-6} :

Krystalfrekvensområder: CQM/F13C-x: 6,05 - 7,25 MHz.
 CQM/F33C-x: 2,85 - 3,66 MHz.
2. 50-0-50 μ A instrument ($R_i = 1000 \Omega$), Storno type SI05.

Tilslutning af måleinstrumenter.Fremgangsmåde

Denne del af justeringen bør ikke påbegyndes før anlægget er fuldt opvarmet, hvilket vil sige efter ca. 10 minutters forløb.

- a) Drej krystaltrimmerne ind på halv kapacitet.
- b) Tast senderen og kontroller udslaget på μ A-instrumentet i målepunkt 7 (ca. 30 μ A).
- c) Forbind frekvensmåleren til oscillatorrørets anode gennem en kondensator.
- d) Indstil frekvensmåleren til den specificerede krystalfrekvens for hver kanal (krystalfrekvenserne for hver kanal er opgivet på det til anlægget hørende måleblad).
- e) Juster krystaltrimmerne (C116 - C121) til krystalfrekvensen for hver kanal.

Hvis der ikke disponeres over en frekvensmåler, kan hovedstationens modtager benyttes ved den endelige indstilling af senderens krystaltrimmere, idet de indstilles til udslag 0 i diskriminatorens målepunkt 3.

Ovennævnte justeringsmetode er dog kun anvendelig i de tilfælde, hvor det med sikkerhed vides, at hovedstationens modtagerfrekvenser er absolut korrekte.

Specifikation

50 kHz anlæg: Det maksimale frekvenssving bør ikke overstige $\pm 15 \times 10^{-6}$.
25 kHz anlæg: Det maksimale frekvenssving bør ikke overstige $\pm 5 \times 10^{-6}$.

3. Modtagerjustering

Justering af modtageren kan foretages i rækkefølgen:

- 3.1. Justering af lav mellemfrekvens (455 kHz).
- 3.2. Justering af L15 og diskriminator.
- 3.3. Justering af høj mellemfrekvens (1. MF).
- 3.4. Justering af oscillator og multiplikator.
- 3.5. Justering af lokaloscillator og HF-trin.
- 3.6. Indstilling af antennelink.
- 3.7. Indstilling af modtagerens lavfrekvensudgangseffekt.
- 3.8. Indstilling af squelch potentiometer.

Såfremt der ved justeringen anvendes en Storno sweepgenerator L20, vil det være mere praktisk at foretage indstillingen af lavfrekvensudgangseffekten (3.7.) lige efter justeringen af L15 og diskrimator (3.2.).

3.1. Justering af lav mellemfrekvens (455 kHz).

3.1.1. Justering med sweepgenerator og oscilloscope

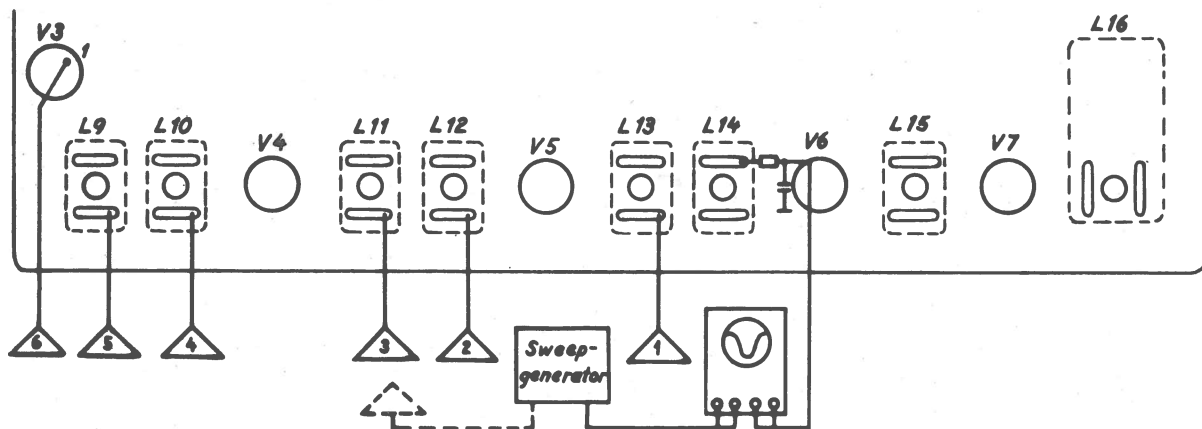
Nødvendige måleinstrumenter

1. Storno sweepgenerator type L20 (den modificerede udgave af L20 kan også anvendes i forbindelse med 25 kHz anlæg, idet de krystalstyrede kontrolfrekvenser på hver side af mellemfrekvensen er henholdsvis 5 kHz, 12 kHz og 35 kHz).
2. 50-0-50 μ A-instrument ($R_i = 1000 \Omega$), Storno type SI05.
3. Oscilloscope med udtag for savtakspænding (f.eks. Philips GM5655).
4. Lavpasfilter ($0,1 M\Omega$ og $2 nF$).
5. Jævnspændingsrørvoltmeter med 3 volt område anbefales ved båndbreddemålinger, men et oscilloscope med jævnspændingskoblet Y-forstærkere til frembringelse af referencepunkter kan anvendes.

Fremgangsmåde

- a) Forbind Y-pladeterminalerne på oscilloscopet til L14, ben 3, via et lavpasfilter ($0,1 M\Omega$ og $2 nF$).
- b) Forbind μ A-instrumentet til målepunkt 1.
- c) Tilslut sweepgeneratorens udgang til L13, ben 4. Indstil begge attenuatorer til afvigelse af størst mulig signal og indstil frekvensomskifteren til 455 kHz.

STORNO

**Tilslutning af måleinstrumenter.**

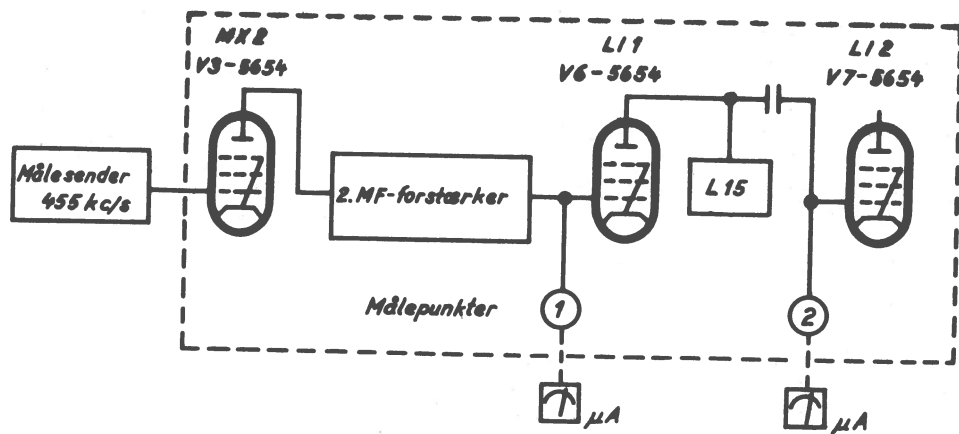
- d) Juster såvel primær som sekundær på L14 for opnåelse af størst mulig udslag på μ A-instrumentet. Jernkernen må ikke drejes helt ind til midten af spoleformen.
- e) Indstil sweepgeneratoren til "Δf SWEEP" og slå "455 kHz"-kontakten nedad.

Billedet på oscilloscopets skærm kan centreres med "FREQ. ADJ.", spredes ud eller samles med "SWEEP 0-100 KC" og højden af billedeet kan justeres med oscillografen GAIN kontrol.

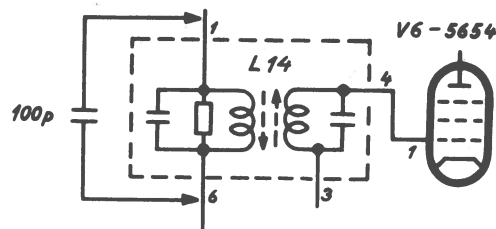
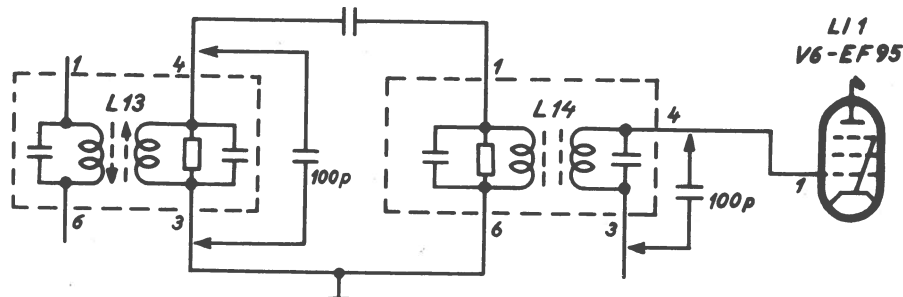
- f) Juster primær og sekundær på L14 for at opnå den bedst mulige symmetri omkring 455 kHz kontrolpunkterne afgivet af sweepgeneratoren.
- g) Skift sweepgeneratortilslutningen fra L3 til L12, ben 4. Reducer udgangsspændingen for opnåelse af et passende billede på oscilloscopet og juster primær og sekundær på L13 som under f).
- h) Skift sweepgeneratortilslutningen fra L12 til L11, ben 4. Forøg udgangsspændingen og juster primær og sekundær på L12.
- i) Skift sweepgeneratortilslutningen fra L11 til L10, ben 4. Reducer udgangsspændingen og juster primær og sekundær på L11. Forøg udgangsspændingen og juster primær og sekundær på L10.
- k) Skift sweepgeneratortilslutningen fra L9 til V3, ben 1 (Som jordforbindelse bør vælges enten skærmpladen over rørsoklen eller stelpunktet, hvor afkoblingskondensatoren er ført til stel). Reducer udgangsspændingen og juster primær og sekundær på L9.
- l) Kontroller kurvesymmetrien med de krystalstyrede kontrolpunkter (± 5 kHz og ± 12 kHz), idet en linie på oscilloscopets billedskærm anvendes som referencemærke, når 455 kHz kontrolpunktet fjernes. Forøg generatorens udgangsspænding 6-10 dB og reducer Y-pladernes forstærkning tilsvarende. Såfremt kurvebilledet forvrænges, bør mellemfrekvenskablets stelforbindelse kontrolleres. Mindre unøjagtigheder kan kompenseres ved justering af L14, mens større unøjagtigheder indikerer defekt afkobling eller for stor interelektrode kapacitet i et MF-rør. Når der er opnået den bedst mulige symmetri og forstærkning, bør båndbredden kontrolleres som beskrevet i 3.1.3.

3.1.2. Justering efter dæmpemetoden**Nødvendige måleinstrumenter**

1. Målesender (455 kHz).
2. 50-0-50 μ A-instrument ($R_i = 1000 \Omega$), Storno type SI05.
3. 100 pF kondensatorer.

*Tilslutning af måleinstrumenter.*Fremgangsmåde

Som vist skal kredsene forstemmes med en kondensator på 100 pF på hver side af den kreds, som skal justeres.

*Dæmpning ved justering af L14's primærkreds.**Dæmpning ved justering af L13 og L14's sekundærkredse.*

- Forbind μ A-instrumentet til målepunkt 2.
- Indstil målesenderen til 455 kHz og tilfør V3, ben 1, et signal for at opnå et passende udslag på μ A-instrumentet.
- Forbind en 100 pF kondensator over primærsiden af L14 og juster sekundærsiden for maksimalt instrumentudslag.
- Forbind en anden 100 pF kondensator over sekundærsiden af L13 og forbind den første kondensator over sekundærsiden af L14. Juster primærsiderne på L14 og L13 for maksimalt instrumentudslag.
- Fjern μ A-instrumentet fra målepunkt 2 og tilslut det i målepunkt 1.
- Juster L12, L11, L10 og L9 i den angivne rækkefølge og i overensstemmelse med retningslinierne givet i pkt. c) og d), idet forstemningskondensatorerne flyttes efterhånden som justeringen skrider frem.

3.1.3. Kontrol af båndbredde

Nødvendige måleinstrumenter

1. Målesender (400 - 500 kHz), Storno sweepgenerator type L20.
2. 50-0-50 μ A-instrument ($R_i = 1000 \Omega$), Storno type SI05.
3. Jævnspændingsrørvoltmeter eller jævnspændingsoscilloskop.

Såfremt der anvendes en målesender i forbindelse med et μ A-instrument, bør der vælges et referenceniveau på ca. 6 - 10 μ A.

Seriemodstanden i målepunkt 1 er på ca. 1 $M\Omega$, og et udslag på ca. 30 μ A kan kun forventes opnået ved centerfrekvensen. Uanset størrelsen af det indførte signal på gitteret af V3 vil udslaget på flankerne af båndpaskurven være under 30 μ A, idet der vil finde en overstyring sted i de foranliggende mellemfrekvenstrin (V4 og V5).

Fremgangsmåde

- a) Forbind målesenderen til gitteret på andet blanderrør (V3, ben 1) og indstil udgangsfrekvensen til at være nøjagtig 455 kHz.
- b) Forbind μ A-instrumentet til målepunkt 1, og tils slut et rørvoltmeter eller jævnspændingsoscilloskop til L14, pkt. 3, gennem et lavpasfilter.
- c) Indstil målesenderens udgangsniveau med de to attenuatorer til opnåelse af et udslag på μ A-instrumentet på omkring 10 μ A eller en aflæsning på jævnspændingsrørvoltmeteret på ca. -3 V (begrenserspænding).
- d) Aflæs indstillingen af attenuatorerne og noter dB-værdien.
- e) Indstil målesenderen til de frekvenser, som er angivet i nedenstående specifikation.
- f) Forøg i hvert enkelt tilfælde attenuatorindstillingen for at opnå samme aflæsningsresultat som i pkt. c).

Forskellen mellem attenuatoraflæsningerne i pkt. f) og d) angiver dæmpningen, og de enkelte aflæsningsdifferencer skal være bedre end de værdier, som er angivet under (i) og (ii) i nedenstående specifikation.

Specifikation

50 kHz anlæg: (i) ± 12 kHz: Dæmpning mindre end 4 dB.
(ii) ± 35 kHz: Dæmpning større end 70 dB.

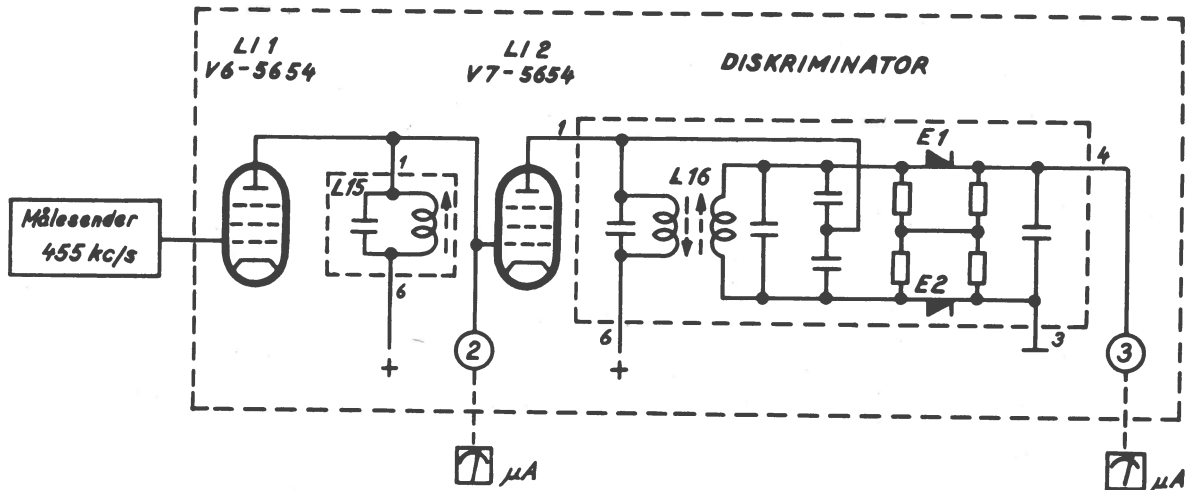
25 kHz anlæg: (i) ± 5 kHz: Dæmpning mindre end 6 dB.
(ii) ± 12 kHz: Dæmpning større end 40 dB.

Bemærk: Den modificerede udgave af Storno sweepgenerator type L20 leveres med de ovenfor nævnte krystalstyrede kontrolfrekvenser for både 50 kHz og 25 kHz anlæg. Storno kan dog levere de nødvendige nye krystaller og frekvensskala til montering i ældre udgaver af sweepgenerator L20.

3.2. Justering af L15 og diskriminator

Nødvendige måleinstrumenter

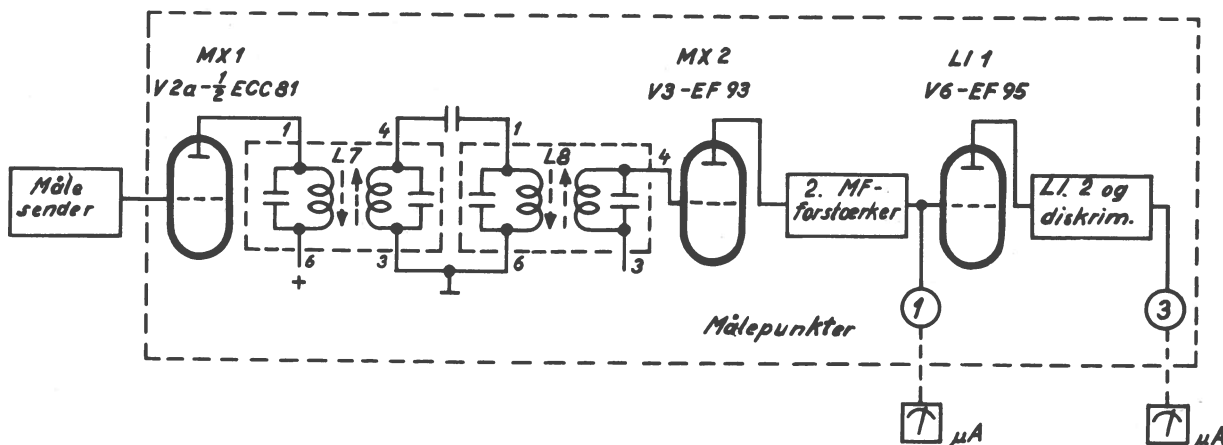
1. Målesender (455 kHz) eller Storno sweepgenerator type L20.
2. 50-0-50 μ A-instrument ($R_i = 1000 \Omega$), Storno type SI05.

*Tilslutning af måleinstrumenter.*Fremgangsmåde

- Forbind μ A-instrumentet til målepunkt 2 og indstil målesenderen på 455 kHz. Sæt ca. 60 dB signal på gitteret af V3 og juster L15 for størst mulig udslag på μ A-instrumentet.
- Flyt μ A-instrumentets måleledning fra målepunkt 2 til målepunkt 3, og indstil L16's topkerne indtil μ A-instrumentet viser 0. Indstil målesenderen til +5 kHz og juster L16's bundkerne til maksimalt udslag på μ A-instrumentet.
- Indstil igen målesenderen til centerfrekvensen (455 kHz) og juster topkernen (L16) til udslag 0.
- Skift nogle gange målesenderen mellem + og - 5 kHz og + og - 12 kHz, og finjuster bundkernen (L16) til lige store + og - udslag på μ A-instrumentet.
- Derpå indstilles målesenderen til centerfrekvensen (455 kHz) og det kontrolleres, at instrumentudslaget er 0. Er det ikke det, justeres topkernen på L16.
- Gentag punkterne d) og e).

3.3. Justering af høj mellemfrekvensNødvendige måleinstrumenter

- Målesender, der dækker følgende områder:
CQM/F13C-x: 9,1 - 10,7 MHz.
CQM/F33C-x: 7,37 - 9,38 MHz.
- 50-0-50 μ A-instrument ($R_i = 1000 \Omega$), Storno type SI05.

*Tilslutning af måleinstrumenter.*

Fremgangsmåde

- Forbind μA -instrumentet til målepunkt 3.
- Indstil målesenderen til udslag 0 på μA -instrumentet (1. mellemfrekvens).
- Forbind μA -instrumentet til målepunkt 1.
- Indstil målesenderen til et udslag på ca. 20 μA -instrumentet.
- Juster L8 og L7 i nævnte rækkefølge til maksimalt udslag på μA -instrumentet.
- Kontroller målesenderens frekvensindstilling ved at forbinde μA -instrumentet til målepunkt 3 og kontroller, at instrumentudslaget er 0. Såfremt dette ikke er tilfældet, skal målesenderens frekvens indstilles korrekt og punkt e) gentages.

Hvor der er tale om finjustering kan benyttes en målesender på signalfrekvensen og tilsluttet antennekonnektoren.

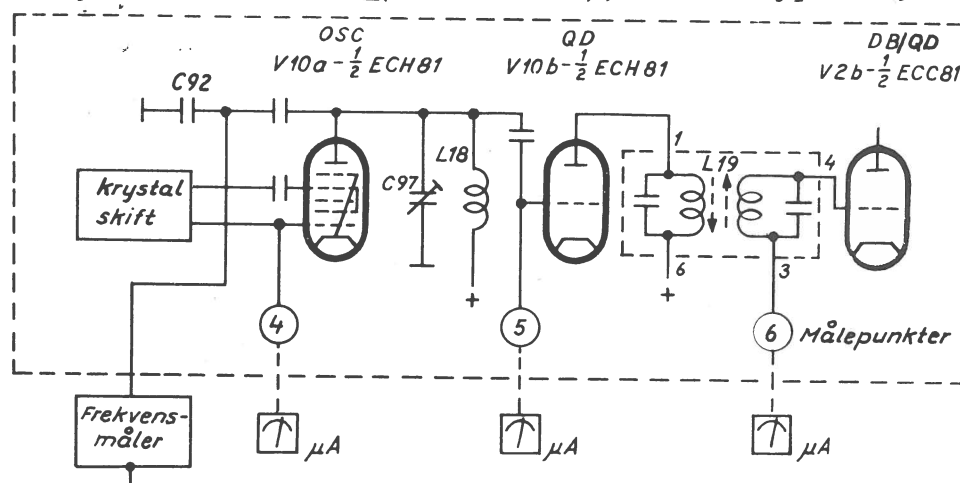
3.4. Justering af oscillator og multiplikatorNødvendige måleinstrumenter

- Frekvensmåler, der dækker nedenstående frekvensområder med en nøjagtighed, som er bedre end 1×10^{-6} :

CQM/F13C-x: 9,00 - 10,2 MHz

CQM/F33C-x: 7,8 - 9,9 MHz.

- 50-0-50 μA -instrument ($R_i = 1000 \Omega$), Storno type SI05.

Tilslutning af måleinstrumenter

- Forbind μA -instrumentet til målepunkt 4.
- Kontroller instrumentudslaget for hver kanal (minimum udslag skal være 12 μA).
- Stil anlægget på den midterste kanal.
- Forbind μA -instrumentet til målepunkt 5.
- Juster C97 for maksimalt udslag på instrumentet og drej derpå kondensatoren ind (større kapacitet) for opnåelse af et ca. 10% mindre udslag.
- Forbind μA -instrumentet til målepunkt 6.
- Juster L19 for maksimalt udslag på instrumentet.

Finindstilling af krystalfrekvens.

- Tilslut frekvensmåleren over C92.
- Indstil frekvensmåleren til den specificerede krystalfrekvens for hver kanal.
- Juster krystaltrimmerne (C81 - C86) til krystalfrekvensen for hver kanal.

3.5. Justering af lokaloscillator og HF-trin

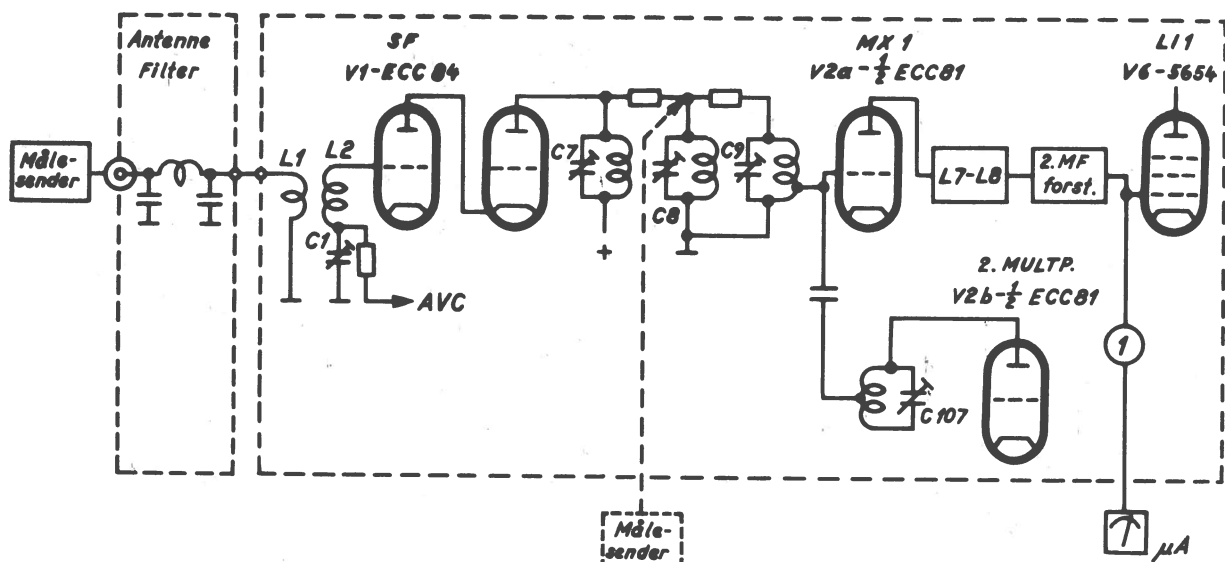
Nødvendige måleinstrumenter

1. Målesender, der dækker følgende frekvensområder:

CQM/F13C-x: 146 - 174 MHz.

CQM/F33C-x: 68 - 88 MHz.

2. 50-0-50 μ A-instrument ($R_i = 1000 \Omega$), Storno type SI05.



Tilslutning af måleinstrumenter.

Fremgangsmåde

- a) Anvend den midterste kanal for de følgende trimmepunkter.
- b) Forbind målesenderen til antennekonnektoren og forbind μ A-instrumentet til målepunkt 1.
- c) Indstil målesenderen til modtagerfrekvensen og et udslag på μ A-instrumentet på 10 - 20 μ A.

Hvis det er vanskeligt at få signalet igennem, kan målesenderen tilsluttes løst over C8, og C107 kan da indstilles til maksimalt udslag på μ A-instrumentet.

- d) Juster C107, C9, C8, C7 og C1 i nævnte rækkefølge for maksimalt udslag på μ A-instrumentet (under justeringen reduceres målesenderens udgangsspænding således, at instrumentudslaget holdes indenfor 10 μ A og 20 μ A).
- e) Finjuster ovennævnte trimmekondensatorer, idet målesenderens udgangsspænding holdes så lavt som muligt.
- f) Kontroller at følsomheden er tilnærmelsesvis lige stor for alle kanaler, idet målesenderen indstilles til modtagerfrekvensen for hver kanal og udslaget kontrolleres på μ A-instrumentet.

Ved store kanalafstande kan det være nødvendigt at stagger-afsteme kredsene ved at justere dem til tilnærmelsesvis lige stor følsomhed på de yderste kanaler.

ADVARSEL! Pas på ikke at taste senderen mens målesenderen er tilsluttet antennekonnektoren, idet målesenderens attenuator derved let ødelægges.

3.6. Indstilling af antennelink

Nødvendige måleinstrumenter

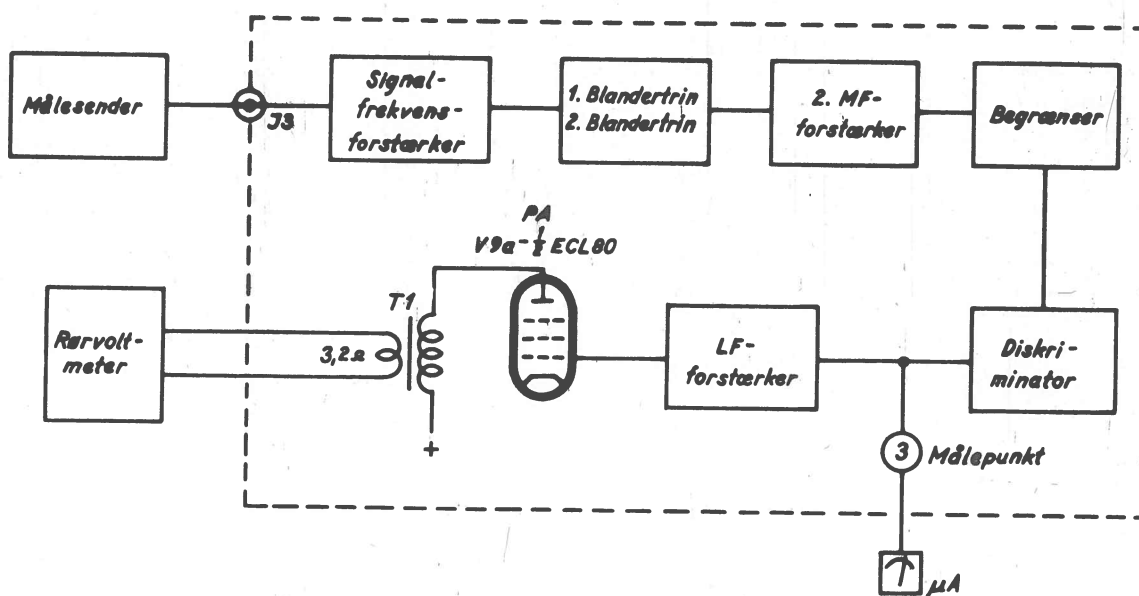
1. Målesender, der dækker følgende frekvensområder:

CQM/F13C-x: 146 - 174 MHz.

CQM/F33C-x: 68 - 88 MHz.

2. Lavfrekvensrørvoltmeter (f.eks. Storno type L22).

3. 50-0-50 μ A-instrument ($R_i = 1000 \Omega$), Storno type SI05.



Tilslutning af måleinstrumenter.

Fremgangsmåde

- a) Notér støjniveauet i dB på lavfrekvensrørvoltmeteret uden signal på antenneindgangen.
- b) Indstil målesenderen til modtagerfrekvensen (udslag 0 på μ A-instrumentet) og udgangsspændingen indstilles til et niveau, hvor rørvoltmeterets udslag er 12 dB under niveauet målt i punkt a).
- c) Kontroller om følsomheden svarer nogenlunde til nedennævnte værdier i punkt d).
- d) Indstil målesenderen til en EMK, der svarer til følgende værdier:
 - CQM/F13C-x: 0,8 μ V.
 - CQM/F33C-x: 0,7 μ V.
- e) Juster koblingen mellem L1 og L2 indtil udslaget på rørvoltmeteret ligger 12-13 dB under det i punkt a) noterede niveau.
- f) Efterjusterer C1, C8 og C9.
- g) Kontroller om det under punkt a) målte niveau har ændret sig, eventuelt gentages punkterne e) og f).

BEMÆRK! De under d) nævnte spændinger skal altid forstås som målesenderens generatorspænding (spændingen, uden belastning). Der findes normalt to metoder til kalibrering af målesenderens attenuatorer:

1. Udgangsspændingen graveret på attenuatoren er generatorspændingen.
2. Udgangsspændingen graveret på attenuatoren er spændingen over en udvendig belastning, der svarer til målesenderens udgangsimpedans.

I tilfælde 1. tages spændingen som den værdi, der er graveret på attenuatoren.

I tilfælde 2. tages spændingen som den dobbelte af den værdi, der er graveret på attenuatoren.

ADVARSEL! Pas på ikke at taste senderen mens målesenderen er tilsluttet antennekonnektoren, idet målesenderens attenuator derved let ødelægges.

3.7. Indstilling af modtagerens lavfrekvensudgangseffekt

Nødvendige måleinstrumenter

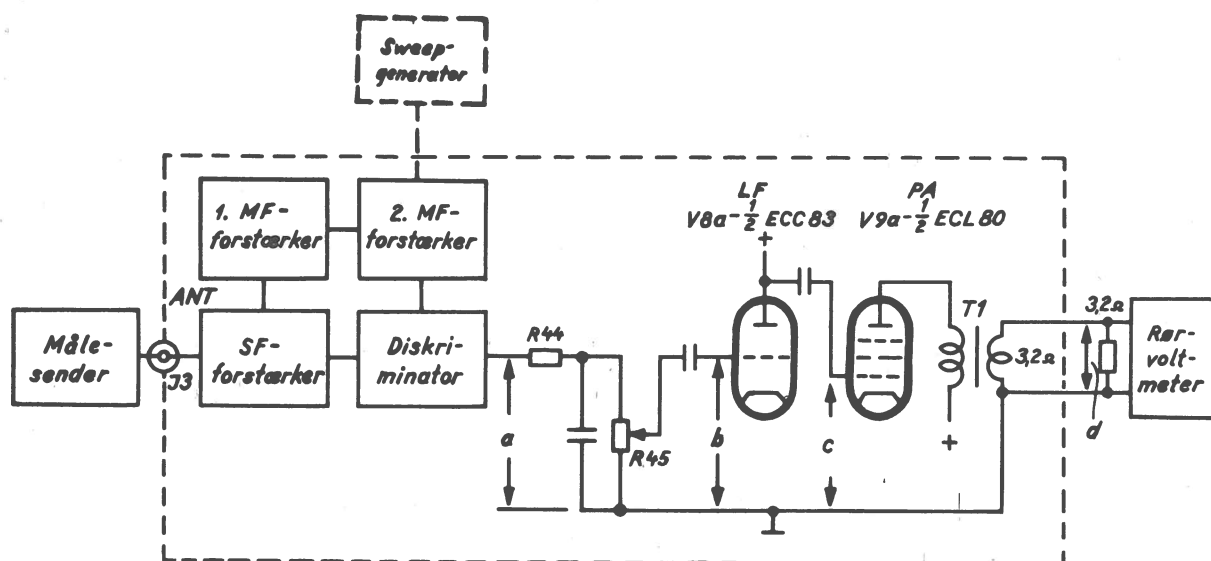
1. FM-målesender, der dækker følgende frekvensområder:

CQM/F13C-x: 146 - 174 MHz.

CQM/F33C-x: 68 - 88 MHz.

2. Lavfrekvensrørvoltmeter (f.eks. Storno type L22).

NB: I stedet for en FM-målesender kan anvendes en sweepgenerator (f.eks. Storno type L20).



Tilslutning af måleinstrumenter.

Fremgangsmåde

- Indstil FM-signalgeneratoren til signalfrekvensen og forbind den til antennekonnektoren eller forbind sweepgeneratoren til gitteret på V3.
- Frekvenssvinget skal være ca. 10 kHz (3,3 kHz for 25 kHz anlæg) ved en modulationsfrekvens på 1000 Hz.
- Ved en udgangseffekt på 0,5 watt indstilles R45 til at give et rørvoltmeterudslag på 1,3 V, og ved en udgangseffekt på 1 watt indstilles R45 til at give et rørvoltmeterudslag på 1,8 V.

Spændingerne nævnt i nedenstående specifikation er målt med et lavfrekvensrørvoltmeter ved $\Delta F = 10$ kHz (3,3 kHz i 25 kHz anlæg) ved en modulationsfrekvens på 1000 Hz.

ADVARSEL! Pas på ikke at taste senderen mens signalgeneratoren er tilsluttet antennekonnektoren, idet signalgeneratorens attenuator derved let ødelægges.

Specifikation

I 50 kHz anlæg bør målingerne i punkterne a, b, c og d være som følger:

- a. 5,6 V.
- b. 0,1 V
- c. 0,5 watt udgangseffekt: 2,2 V
1,0 watt udgangseffekt: 2,5 V
- d. 0,5 watt udgangseffekt: 1,3 V
1,0 watt udgangseffekt: 1,8 V

I 25 kHz anlæg bør målingerne i punkterne a, b, c og d være som følger:

- a. 1,8 V
- b. 0,1 V
- c. 0,5 watt udgangseffekt: 2,2 V
1,0 watt udgangseffekt: 2,5 V
- d. 0,5 watt udgangseffekt: 1,3 V
1,0 watt udgangseffekt: 1,8 V

3.8. Indstilling af squelch potentiometer

Squelchpotentiometeret skal indstilles uden signal på modtageren.

- a) Drej squelchknappen i betjeningsboksen mod højre til der lyder en susen i højtaleren.
- b) Drej derefter knappen til venstre indtil denne susen kun høres ganske svagt.

Dette punkt er squelchknappens normale indstilling.

type	* no.	* code	data	product
13	C1	78	5 pF trimmer	Philips 82081/5E
33	C1	78	10 pF trimmer	Philips 82081/10
	C2	74	1,2 pF $\pm 0,1$ pF	TJ KCP
	C3	77	10 nF	Hunts W99 B800
	C4	74	2 nF	Stettner Dfk DM6 3x16D2500
	C5	74	2 nF	Stettner Dfk DM6 3x16D2500
	C6	74	100 pF $\pm 10\%$	Stettner Rd 3x12N750/IB
13	C7	78	16 pF trimmer	Philips C005AA/16E
33	C7	78	25 pF trimmer	Philips C005AA/25E
13	C8	78	16 pF trimmer	Philips C005BA/16E
33	C8	78	25 pF trimmer	Philips C005BA/25E
13	C9	78	16 pF trimmer	Philips C005BA/16E
33	C9	78	25 pF trimmer	Philips C005BA/25E
	C10	74	1,5 pF $\pm 20\%$	TJ KTP
	C11	74	1 nF	Stettner Sa Ku D4000
	C12	74	51 pF $\pm 5\%$	Stettner Hd 3x12N075/IB
33	C13	77	500 pF	Hunts W99-B820
	C14		see L7	
	C15		see L7	
	C16	77	3 nF	400V Hunts W99 B817
13	C17	74	0,8 pF $\pm 0,1$ pF	TJ KCP
33	C17	74	3,3 pF $\pm 20\%$	TJ KTP
	C18		see L8	
	C19		see L8	
	C20	77	1 nF	400V Hunts W99 B819
	C21	74	1,5 pF $\pm 20\%$	TJ KTP
	C22	77	30 nF	200V Hunts W94 BT15
	C23		see L9	
	C24		see L9	
	C25	77	1 nF $\pm 10\%$	400V Hunts W99 B819A
	C26	77	10 nF	400V Hunts W99 B810
	C27	74	1,8 pF $\pm 0,1$ pF	500V TJ KCP
	C28		see L10	
	C29		see L10	
	C30	77	1 nF	400V Hunts W99 B819
	C31	77	30 nF	200V Hunts W94 BT15
	C32	77	1 nF $\pm 10\%$	400V Hunts W99 B819A
	C33		see L11	
	C34		see L11	
	C35	74	1,8 pF $\pm 0,1$ pF	500V TJ KCP
	C36		see L12	
	C37		see L12	
	C38	74	100 pF $\pm 10\%$	500V Stettner Rd 3x12N750/IB
	C39	77	30 nF	200V Hunts W94 BT15
	C40	77	3 nF $\pm 10\%$	400V Hunts W99 B817A
	C41		see L13	
	C42		see L13	
	C43	77	10 nF	400V Hunts W94 B810
	C44	74	1,8 pF $\pm 0,1$ pF	500V TJ KCP
	C45		see L14	
	C46		see L14	
	C47	74	100 pF $\pm 10\%$	500V Stettner Rd 3x12N750/IB



udarb af
CJ
3-3.61
kontrol af
tilh. diagr.

RADIO TELEPHONE

CQM13C-14
CQM33C-14

11
1
1
X400.102
Hunting
Mold No.
1

type	* no.	* code	data	product
	C48	77	500 pF	Hunts W99 B820
	C49	77	10 nF	Hunts W99 B810
	C50	77	10 nF	Hunts W99 B810
	C51		see L15	
	C52	74	51 pF ±5%	Stettner Hd 3x12N075/IB
	C53	77	10 nF	Hunts W99 B800
	C54	77	10 nF	Hunts W99 B810
	C55	77	10 nF	Hunts W99 B810
	C56	77	10 nF	Hunts W99 B810
	C57		see L16	
	C58		see L16	
	C59		see L16	
	C60		see L16	
	C61		see L16	
	C62	77	10 nF	Hunts W99 B810
	C63	77	30 nF	Hunts W94 BT15
	C64	77	30 nF	Hunts W94 BT15
	C65	74	100 pF ±10%	Stettner Rd 3x12N750/IB
	C66	73	8 μF	TJ EAR 3535 eit
	C67	77	30 nF	Hunts W94 BT15
	C68	73	4 μF	TJ EAR 3438 eit
	C69	76	4,7 nF	Erofol II nr. Hx247/4
	C70	73	8 μF	TJ EAR 3535 eit
	C71	73	4 μF	TJ EAR 3438 eit
	C72	77	1 nF	Hunts W99 B819
	C73	74	68 pF ±10%	TJ KRN 750
	C74	73	4 μF	450/500V TJ EAR 8828 eqit
	C75	77	0,1 μF	Hunts W48 A306
	C76	72	1 nF	Eroid nr. kc210/10(b)
	C77	76	0,1 μF	Erofol II Hx410/1
	C78	72	10 nF	TCC CP 113N
	C79	72	1 nF	Eroid nr. kc210/10(b)
	C80	72	0,1 μF	Eroid nr. kc410/2
	C81-		see special page for X-tal shift	
	C89		se specieilt blad for X-tal skift	
	C91	74	10 pF ±0,5pF TC:-100	Stettner Rd 2x12N075/IB
	C92	74	51 pF ±5%	Stettner Hd 3x12N075/IB
	C93	77	3 nF	Hunts W99 B817
	C94	74	6 pF ±20%	TJ KTN 750
	C95	74	2,2 nF	Keramikon 4133/1
	C96	77	10 nF	Hunts W99 B810
13	C97	78	16 pF trimmer	Philips C005BA/16E
33	C97	78	25 pF trimmer	Philips C005BA/25E
	C98	77	10 nF	Hunts W99 B810
	C99	74	51 pF ±5%	Stettner Hd 3x12N075/IB
	C100	77	1 nF	Hunts W99 B819
	C101		see L19	
	C102		see L19	
	C103	77	1 nF	Hunts W99 B819
13	C104	74	13 pF ±5%	Stettner Rd 2x12N075/IB
33	C104	74	10 pF ±5%	Stettner Rd 2x12N075/IB
	C105	74	1 nF	Stettner Sa Ku D4000
13	C107	78	16 pF trimmer	Philips C005AA/16E
33	C107	78	25 pF trimmer	Philips C005AA/25E
13	C108	74	51 pF ±5%	Stettner Hd 3x12N075/IB
33	C108	74	110 pF ±5%	Stettner Hd 3x20N075/IB



udarb af
kontrol af
tilk. diagr.

RADIO TELEPHONE

CQM13C-14
CQM33C-14

X400.102
11 8 2 11
X400.102
11 8 2 11
11 8 2 11
11 8 2 11

type	* no.	* code	data	product
	C110	76	3 nF ±5%	400V Erofol II Hx233/4(3,3nF ±5% -13%)
	C111	77	10 nF	150V Hunts W99 B800
	C112	76	10 nF ±5%	125V Erofol II Hx310/1
	C113	74	51 pF ±5%	500V Stettner 3x12N075/IB
	C114	74	51 pF ±5%	500V Stettner Hd 3x12N075/IB
	C115	73	8 µF	25V TJ EAR 3535 eit
	C116		see special page for X-tal shift	
	C124		se specielet blad for krystalskift	
	C126	74	6 pF ±20%	500V TJ KTN 750
	C127	77	3 nF	400V Hunts W99 B817
	C128	77	10 nF	400V Hunts W99 B810
	C129	77	500 pF	600V Hunts W99 B820
13	C130	74	27 pF ±5%	500V Stettner Hd 3x12N075/IB
33	C130	74	110 pF ±5%	500V Stettner Hd 3x20N075/IB
13	C131	74	15 pF ±10%	500V TJ KRP
33	C131	74	27 pF ±5%	500V Stettner Hd 3x12N075/IB
	C132	74	2,2 nF	350V Keramikon 4133/1
	C133	73	8 µF	25V TJ EAR 3535 eit
	C134	74	51 pF ±5%	500V Stettner Hd 3x12N075/IB
	C135		see L23	
	C136	74	2,2 nF	350V Keramikon 4133/1
	C137	74	2,2 nF	350V Keramikon 4133/1
	C139	74	2,2 nF	350V Keramikon 4133/1
	C140		see L24	
	C141		see L24	
	C142	74	2,2 nF	350V Keramikon 4133/1
	C143	74	2,2 nF	350V Keramikon 4133/1
	C144	74	2,2 nF	350V Keramikon 4133/1
13	C145	78	16 pF trimmer	Philips C005AA/16E
33	C145	78	25 pF trimmer	Philips C005AA/16E
13	C146	78	16 pF trimmer	Philips C005AA/16E
33	C146	78	25 pF trimmer	Philips C005AA/25E
13	C147	78	16 pF trimmer	Philips C005AA/16E
33	C147	78	25 pF trimmer	Philips C005AA/25E
13	C148	78	16 pF trimmer	Philips C005BA/16E
33	C148	78	25 pF trimmer	Philips C005BA/25E
13	C149	78	16 pF trimmer	Philips C005BA/16E
33	C149	78	25 pF trimmer	Philips C005BA/25E
13	C150	78	4 pF trimmer	Philips 82074B/4E
33	C150	78	10 pF trimmer	Philips 82074B/10E
	C152	74	2,2 nF	350V Keramikon 4133/1
	C155		4,7 nF -20%+80%	350V Hunts CF15/K2 16S WG
	C161	74	1 µF	Hunts W48 A303
	C162	77	15 nF	1600V TIK OA900i
	C163	71	20 µF+20µF	450V TJ EAL 6758E
	C164	73	10 µF	50V TJ EAR 2077 pit
	C165	73	10 µF	50V TJ EAR 2077 pit
	C166	73	25 µF	50V TJ EAR 3437 eit
	C167	73	1 nF	500V Stettner Sa Ku D4000
	C169	74	100 µF	12V TJ EAR 3536 prti
	C170	73	1 nF	500V Stettner Sa Ku D4000
	C171	74	1 nF	500V Stettner Sa Ku D4000
	C172	74	3,3 pF ±20%	500V Stettner Sa Ku D4000
13	C173	74	4,7 nF -20%+80%	TJ KTP
	C174	74		350V Hunts CF15/K2 16S WG



udarb af

kontrol af

tilk. diagr.

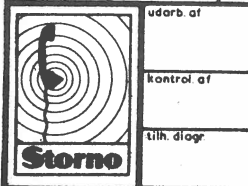
RADIO TELEPHONE

CQM13C-14

CQM33C-14

X400.102
3 of 11
Model No.

type	* no.	* code	data	product
13	C180	77	10 nF	Hunts W99 B810
13	C181	74	2,2 nF	Keramikon 4133/1
13	C182	74	2,2 nF	Keramikon 4133/1
	C183	76	10 nF ±5%	Erofol II Hx310/1
33	C184	74	0,8 pF ±0,1pF	TJ KCP
33	C185	74	2,2 nF	Keramikon 4133/1
	C186	74	1 nF	Stettner Sa Ku D4000
33	C187		see L7	
33	C188		see L7	
33	C189		see L8	
33	C190		see L8	
33	C191		see L19	
33	C192		see L19	
33	C193	74	10 pF ±0,5 pF TC:-100	Stettner Rd 2x12N075/IB
33	C194		see L23	
33	C195		see L24	
33	C196		see L24	
33	C200	74	4,7 pF	Keramikon 4110/2
33	C201	74	2,2 pF	Keramikon 4133/1
	C202	77	1 μF	Hunts W48 A303
	C203	77	10 nF	Hunts W99 B800
	C208	74	2 nF	Stettner Dfk DM63x16D2500
	C209	74	2 nF	Stettner Dfk DM63x16D2500
	C210		see L23	
	C211	74	2,2 nF	Keramikon 4133/1
	C212	74	2,2 nF	Keramikon 4133/1
	C213	77	10 nF	Hunts W99 B800
	C214	74	51 pF	Stettner Hd 3x12N075/IB
	C215	77	10 nF	Hunts W99 B810
	C216	74	1 nF	Stettner Sa Ku D4000
	C217	74	1 nF	Stettner Sa Ku D4000
	C218	74	2,2 nF	Keramikon 4133/1
33	C223	74	5,6 pF ±5%	Keramikon 4116/SK
13	C224	74	25 pF ±5%	TJ KRO Stand-off 5152
33	C224	74	51 pF ±5%	TJ KRO Stand-off 5194
13	C225	74	25 pF ±5%	TJ KRO Stand-off 5152
33	C225	74	51 pF ±5%	TJ KRO Stand-off 5194
	C226	74	25 pF ±5%	TJ KRO Stand-off 5152
33	C227		see L23	
	C228-		see special page for	X-tal shift
	C234		se speciel blad for	krystalskift
	C238	74	1 nF	Stettner Sa Ku D4000
	C239	74	1 nF	Stettner Sa Ku D4000
	C240	74	2 nF	Stettner Dfk DM63x16D2500
	C241	74	2 nF	Stettner Dfk DM63x16D2500
33	C242	74	25 pF ±5%	TJ KRO Stand-off 5152
	C250	73	4 μF	TJ EAR 8828 EQI
	R1	81	0,1 MΩ	Vitrohm SBT
	R2	81	150 Ω	Vitrohm SBT
	R3	81	0,56 MΩ	Vitrohm SBT
	R4	81	0,1 MΩ	Vitrohm SBT
	R5	81	0,1 MΩ	Vitrohm SBT
	R6	81	1 kΩ	Vitrohm SBT
	R7	81	1 MΩ	Vitrohm SBT
	R8	81	1 MΩ	Vitrohm SBT



RADIO TELEPHONE CQM13C-14
CQM33C-14

11
4 at
4 at
11
tech. info
blad no

type	* no.	* code	data		product
	R9	81	820 Ω	1/2 W	Vitrohm SBT
	R10	81	1 k Ω	1/2 W	Vitrohm SBT
	R11	81	0,47 M Ω	1/2 W	Vitrohm SBT
	R12	81	560 Ω	1/2 W	Vitrohm SBT
	R13	81	1 k Ω	1/2 W	Vitrohm SBT
	R16		see L10		
	R17	81	0,47 M Ω	1/2 W	Vitrohm SBT
	R18	81	820 Ω	1/2 W	Vitrohm SBT
	R19	81	3,9 k Ω	1/2 W	Vitrohm SBT
	R21	81	1 k Ω	1/2 W	Vitrohm SBT
	R23		see L12		
	R24	81	0,47 M Ω	1/2 W	Vitrohm SBT
	R25	81	820 Ω	1/2 W	Vitrohm SBT
	R26	81	3,9 k Ω	1/2 W	Vitrohm SBT
	R28	81	1 k Ω	1/2 W	Vitrohm SBT
	R30	81	0,18 M Ω	1/2 W	Vitrohm SBT
	R31	81	0,82 M Ω	1/2 W	Vitrohm SBT
	R32	82	18 k Ω	1/2 W	Vitrohm ABT
	R33	82	33 k Ω	1/2 W	Vitrohm ABT
	R34	81	0,56 M Ω	1/2 W	Vitrohm SBT
	R35	81	47 k Ω	1/2 W	Vitrohm SBT
	R36	81	1 k Ω	1/2 W	Vitrohm SBT
	R37	81	27 k Ω	1/2 W	Vitrohm SBT
	R38	81	1 k Ω	1/2 W	Vitrohm SBT
	R39		see L16		
	R40		see L16		
	R41		see L16		
	R42		see L16		
	R43	81	0,27 M Ω	1/2 W	Vitrohm SBT
	R44	81	47 k Ω	1/2 W	Vitrohm SBT
	R45	86	0,25 M Ω potent.(log)		Preh 4168
	R46	81	0,1 M Ω	1/2 W	Vitrohm SBT
	R47	81	3,3 k Ω	1/2 W	Vitrohm SBT
	R48	81	0,22 M Ω	1/2 W	Vitrohm SBT
	R49	81	10 k Ω	1/2 W	Vitrohm SBT
	R50	81	150 μ	1/2 W	Vitrohm SBT
	R51	81	270 Ω	1/2 W	Vitrohm SBT
	R52	81	100 Ω	1/2 W	Vitrohm SBT
	R53	86	10 k Ω potent.(log)		Preh 4168
	R54	84	1,2 k Ω	1/2 W	Vitrohm type H
	R55	81	0,1 M Ω	1/2 W	Vitrohm SBT
	R56	81	0,1 M Ω	1/2 W	Vitrohm SBT
	R57	81	0,1 M Ω	1/2 W	Vitrohm SBT
	R58	81	0,33 M Ω	1/2 W	Vitrohm SBT
	R59	81	0,47 M Ω	1/2 W	Vitrohm SBT
	R60	81	0,12 M Ω	1/2 W	Vitrohm SBT
	R61	81	1 M Ω	1/2 W	Vitrohm SBT
	R62	81	0,18 M Ω	1/2 W	Vitrohm SBT
	R63	81	0,47 M Ω	1/2 W	Vitrohm SBT
	R64	81	0,1 M Ω	1/2 W	Vitrohm SBT
	R65	81	82 k Ω	1/2 W	Vitrohm SBT
	R66	81	1 k Ω	1/2 W	Vitrohm SBT
	R68	81	56 k Ω	1/2 W	Vitrohm SBT
	R69	81	100 Ω	1/2 W	Vitrohm SBT
13	R70	81	10 k Ω	1/2 W	Vitrohm SBT
33	R70	81	1 k Ω	1/2 W	Vitrohm SBT



udar af
kontrol af
tilh diagr

RADIO TELEPHONE

CQM13C-14
CQM33C-14X400.102
5 11



udarbejdt af

kontrol af

tilh. diagr.

type	* no.	* code	data		product
	R71	81	1 kΩ	½ W	Vitrohm SBT
	R72	81	0,12 MΩ	½ W	Vitrohm SBT
	R73	81	2,7 MΩ	½ W	Vitrohm SBT
	R74	81	10 kΩ	½ W	Vitrohm SBT
	R75	81	0,12 MΩ	½ W	Vitrohm SBT
	R76	81	0,82 MΩ	½ W	Vitrohm SBT
	R77	81	220 Ω	½ W	Vitrohm SBT
	R78	81	1 kΩ	½ W	Vitrohm SBT
	R80	86	0,1 MΩ potent. (lin)		Preh 4168
	R81	82	1,5 kΩ	1 W	Vitrohm ABT
	R82	81	18 kΩ	½ W	Vitrohm SBT
	R83	82	0,68 MΩ	1 W	Vitrohm ABT
	R84	82	0,22 MΩ	1 W	Vitrohm ABT
	R85	81	18 kΩ	½ W	Vitrohm SBT
	R86	81	0,15 MΩ	½ W	Vitrohm SBT
	R87	81	0,18 MΩ	½ W	Vitrohm SBT
	R88	81	0,18 MΩ	½ W	Vitrohm SBT
	R89	81	0,18 MΩ	½ W	Vitrohm SBT
	R90	81	47 kΩ	½ W	Vitrohm SBT
13	R91	81	390 Ω	½ W	Vitrohm SBT
33	R92	81	27 kΩ	½ W	Vitrohm SBT
13	R93	82	82 kΩ	½ W	Vitrohm SBT
33	R93	82	47 kΩ	1 W	Vitrohm ABT
13	R94	81	56 kΩ	1 W	Vitrohm ABT
33	R94	81	0,39 MΩ	½ W	Vitrohm SBT
	R95	81	0,33 MΩ	½ W	Vitrohm SBT
	R96	81	56 kΩ	½ W	Vitrohm SBT
	R97	81	0,1 MΩ	½ W	Vitrohm SBT
	R98	81	0,47 MΩ	½ W	Vitrohm SBT
	R99	81	0,27 MΩ	½ W	Vitrohm SBT
	R100	81	1 kΩ	½ W	Vitrohm SBT
13	R101	81	82 kΩ	½ W	Vitrohm SBT
33	R101	81	0,15 MΩ	½ W	Vitrohm SBT
	R102	81	0,15 MΩ	½ W	Vitrohm SBT
	R102	81	220 Ω	½ W	Vitrohm SBT
	R103	82	56 kΩ	1 W	Vitrohm ABT
13	R104	81	0,82 MΩ	½ W	Vitrohm SBT
33	R104	81	0,56 MΩ	½ W	Vitrohm SBT
	R105	81	0,1 MΩ	½ W	Vitrohm SBT
13	R106	82	22 kΩ	1 W	Vitrohm ABT
33	R106	82	82 kΩ	1 W	Vitrohm ABT
13	R107	81	0,82 MΩ	½ W	Vitrohm SBT
33	R107	81	0,68 MΩ	½ W	Vitrohm SBT
	R108	81	47 kΩ	½ W	Vitrohm SBT
13	R109	82	82 kΩ	1 W	Vitrohm ABT
33	R109	82	0,22 MΩ	1 W	Vitrohm ABT
13	R110	82	22 kΩ	1 W	Vitrohm ABT
33	R110	82	56 kΩ	1 W	Vitrohm SBT
13	R111	82	1,2 kΩ	1 W	Vitrohm SBT
33	R111	81	1,8 kΩ	½ W	Vitrohm SBT
13	R112	81	120 kΩ	½ W	Vitrohm SBT
33	R112	81	0,15 MΩ	½ W	Vitrohm SBT
	R113	81	0,68 MΩ	½ W	Vitrohm SBT
	R114	81	82 kΩ	½ W	Vitrohm SBT
13	R115	81	0,68 MΩ	½ W	Vitrohm SBT
33	R115	81	1,2 MΩ	½ W	Vitrohm SBT

RADIO TELEPHONE

CQM13C-14
CQM33C-14X400.102 af 11
Kontrol nummer 6 af 11
Side nummer 11 af 11

type	* no.	* code	data	product
13	R116	81	0,68 MΩ	1/2 W Vitrohm SBT
33	R116	81	1,2 MΩ	1/2 W Vitrohm SBT
13	R117	81	3,9 kΩ	1/2 W Vitrohm SBT
33	R117	81	6,8 kΩ	1/2 W Vitrohm SBT
13	R118	81	100 Ω	1/2 W Vitrohm SBT
33	R118	81	3,9 kΩ	1/2 W Vitrohm SBT
13	R119	83	5,5 kΩ+500Ω	3 W Vitrohm GL
33	R119	83	2,5 kΩ+3,5kΩ	3 W Vitrohm GL
	R120	81	10 kΩ	1/2 W Vitrohm SBT
	R121	82	3,3 kΩ	1 W Vitrohm BBT
	R122	83	470 Ω	2 W Vitrohm BBT
	R123	82	330 Ω	1 W Vitrohm ABT
	R124	81	5,6 kΩ	1/2 W Vitrohm SBT
	R125	82	330 Ω	1 W Vitrohm ABT
	R126	81	100 Ω	1/2 W Vitrohm SBT
	R127	81	39 kΩ	1/2 W Vitrohm SBT
33	R138	81	22 kΩ	1/2 W Vitrohm SBT
33	R139	81	8,2 kΩ	1/2 W Vitrohm SBT
13	R145	82	82 kΩ	1 W Vitrohm ABT
33	R145	82	0,27 MΩ	1 W Vitrohm ABT
13	R146	82	27 kΩ	1 W Vitrohm ABT
33	R146	82	47 kΩ	1 W Vitrohm ABT
13	R147	85	3 kΩ	10 W Vitrohm EKA
33	R147	85	5 kΩ	10 W Vitrohm EKA
	R157	82	1 kΩ	1 W Vitrohm ABT
	E1		see L16	
	E2		see L16	
	E3	99	Silicium diode	Philips OA200
	E4	99	Silicium diode	Philips OA200
	E5	99	Germanium diode	Philips OA81
	E6	99	Germanium diode	Philips OA81
	E7	99	Germanium diode	Philips OA81
	E8	94	300 V 0,2A	Siemens B300 C200
	E9	94	60 V 0,17A	Siemens B60 C170
	Fcl-Fc31	65	ferroxcube beads perler	Philips 56-590-65/20
	J1	41	20-poled	
	J2	41	16-poled	
	J3	41	coax connector	Amphenol SO 239
13	L1	62	156-174 Mc/s	Storno 62.446
33	L1	62	70 - 88 Mc/s	Storno 62.468
13	L2	62	156-174 Mc/s	Storno 62.447
33	L2	62	70 - 88 Mc/s	Storno 62.302
13	L3	62	156-174 Mc/s	Storno 62.236
13	L4	62	156-174 Mc/s	Storno 62.438
33	L4	62	70 - 88 Mc/s	Storno 62.459
13	L5	62	156-174 Mc/s	Storno 62.440
33	L5	62	70 - 88 Mc/s	Storno 62.460
13	L6	62	156-174 Mc/s	Storno 62.438
33	L6	62	70 - 88 Mc/s	Storno 62.461
13	L7	61	9,6 - 10,7 Mc/s	Storno 61.389
		74	C14:153pF(3x51pF)TC:-100	Stettner Hd 3x12N075/IB
		74	C15: 51pF TC:-100	Stettner Hd 3x12N075/IB



udarb. af

kontrol af

tilh. diagr.

RADIO TELEPHONE

CQM13C-14

CQM33C-14

X400.102
7 6
Kont. Note

type	* no.	* code	data	product
33	L7	61 74 74 74 74	7,37 - 9,38 Mc/s C14: 51pF ±5% TC:-100 C15:102pF (2x51pF ±5%) TC:-100 C187: 27pF ±5% TC:-100 C188: 27pF ±5% TC:-100	Storno 61.404 Stettner Hd 3x12N075/IB Stettner Hd 3x12N075/IB Stettner Hd 3x12N075/IB Stettner Hd 3x12N075/IB
13	L8	61 74 74	9,6 - 10,7 Mc/s C18: 51pF TC:-100 C19: 51pF TC:-100	Storno 61.391 Stettner Hd 3x12N075/IB Stettner Hd 3x12N075/IB
33	L8	61 74 74 74 74	7,37 - 9,37 Mc/s C18: 102pF (2x51pF ±5%) TC:-100 C19: 102pF (2x51pF ±5%) TC:-100 C189: 27pF ±5% TC:-100 C190: 27pF ±5% TC:-100	Storno 61.406 Stettner Hd 3x12N075/IB Stettner Hd 3x12N075/IB Stettner Hd 3x12N075/IB Stettner Hd 3x12N075/IB
	L9	61 74 74	0,455 Mc/s C23:102pF(2x51pF±5%) TC:-100 C24:102pF(2x51pF±5%) TC:-100	Storno 61.451 Stettner Hd 3x12N075/IB Stettner Hd 3x12N075/IB
L10	61 74 74 89	0,455 Mc/s C28:102pF(2x51pF±5%) TC:-100 C29:102pF(2x51pF±5%) TC:-100 R16: 0,39MΩ ¼ W	Storno 61.450 Stettner Hd 3x12N075/IB Stettner Hd 3x12N075/IB Philips B830505B	
L11	61 74 74	0,455 Mc/s C33:102pF(2x51pF±5%) TC:-100 C34:102pF(2x51pF±5%) TC:-100	Storno 61.451 Stettner Hd 3x12N075/IB Stettner Hd 3x12N075/IB	
L12	61 74 74 89	0,455 Mc/s C36:102pF(2x51pF ±5%) TC:-100 C37:102pF(2x51pF ±5%) TC:-100 R23: 0,39MΩ ¼ W	Storno 61.450 Stettner Hd 3x12N075/IB Stettner Hd 3x12N075/IB Philips B830505B	
L13	61 74 74	0,455 Mc/s C41:102pF(2x51pF ±5%) TC:-100 C42:102pF(2x51pF ±5%) TC:-100	Storno 61.451 Stettner Hd 3x12N075/IB Stettner Hd 3x12N075/IB	
L14	61 74 74	0,455 Mc/s C45:102pF(2x51pF ±5%) TC:-100 C46:102pF(2x51pF±5%)TC:-100	Storno 61.451 Stettner Hd 3x12N075/IB Stettner Hd 3x12N075/IB	



RADIO TELEPHONE CQM13C-14
CQM33C-14

11
8
X400.102
Home base
Dielectric No.

type	no.	code	data	product
	L15	61 74	0,455 Mc/s C51:102pF (2x51pF ±5%) TC:-100	Storno 61.395 Stettner Hd 3x12N075/IB
	L16	61 74 74 74 74 77 99 99 81 81 81 81	0,455 Mc/s C57:340pF (2x170pF ±5%) TC:-250 C58: 40pF ±5% TC:-750 C59:340pF (2x170 ±5%) TC:-250 C60:340pF (2x170pF ±5%) TC:-250 C61:500 pF 600 V E1: Silicium diode E2: Silicium diode R39: 12 kΩ ½ W R40: 12 kΩ ½ W R41: 56 kΩ ½ W R42: 56 kΩ ½ W	Storno 61.396 Stettner Rd 3x30N220/IB TJ KTN 750 Stettner Rd 3x30N220/IB Stettner Rd 3x30N220/IB Hunts W99 B820 Philips OA200 Philips OA200 Vitrohm SBT Vitrohm SBT Vitrohm SBT Vitrohm SBT
13	L17	62	170 µH	Storno 62.121
13	L18	62	8 µH	Storno 62.448
33	L18	62	8,5 µH	Storno 62.456
13	L19	61	37-41 Mc/s C101: 27pF ±5% TC:-100 C102: 10pF ±5% TC:-100	Storno 61.390 Stettner Hd 3x12N075/IB Stettner Rd 2x12N075/IB
33	L19	61 74 74 74 74	31.3-39.3 Mc/s C101: 27pF ±5% TC:-100 C102: 10pF ±5% TC:-100 C191: 10pF ±5% TC:-100 C192: 10pF ±5% TC:-100	Storno 61.405 Stettner Hd 3x12N075/IB Stettner Rd 2x12N075/IB Stettner Rd 2x12N075/IB Stettner Rd 2x12N075/IB
13	L20	62	147-164 Mc/s	Storno 62.439
33	L20	62	62,6-78,6 Mc/s	Storno 62.462
13	L21	63	100 µH screened	Storno 63.007
33	L21	63	0,9 mH screened	Storno 63.006
13	L22	62	100 µH	Storno 62.099
33	L22	62	0,9 mH	Storno 62.455
13	L23	61 74	12,6-14,5 Mc/s C135: 27pF ±5% TC:-100 C210: 27pF ±5% TC:-100	Storno 61.419 Stettner Hd 3x12N075/IB Stettner Hd 3x12N075/IB
33	L23	61 74 74	5,8-7,3 Mc/s C135: 27pF ±5% TC:-100 C194:5,6pF ±5% TC:-100 C210: 27pF ±5% TC:-100 C226:5,6pF ±5% TC:-100	Storno 61.430 Stettner Hd 3x12N075/IB Keramikon 4116/2 Stettner Hd 3x12N075/IB Keramikon 4116/2



RADIO TELEPHONE CQM13C-14
CQM33C-14

X400.102
9 er
komplett
Mod. No.

type	* no.	* code	data	product
13	L24	61 74 74	50.6-58 Mc/s C140: 10pF ±5% TC:+100 C141: 10pF ±5% TC:-100	Storno 61.420 Stettner Hd 2x12N075/IB Stettner Hd 2x12N075/IB
33	L24	61 74 74 74 74	23,2 - 29,2 Mc/s C140: 10pF ±5% TC:-100 C141: 10pF ±5% TC:-100 C195: 5,6pF ±5% TC:-100 C196: 5,6pF ±5% TC:-100	Storno 61.431 Stettner Rd 2x12N075/IB Stettner Rd 2x12N075/IB Keramikon 4116/2 Keramikon 4116/2
	L26	62	0,56 μH	Vitrohm ADS 0,56 μH
13	L27	62	156-174 Mc/s	Storno 62.491
33	L27	62	70 - 88 Mc/s	Storno 62.492
	L28	62	0,56 μH	Vitrohm ADS 0,56 μH
13	L29	62	156-174 Mc/s	Storno 62.442
33	L29	62	70 - 88 Mc/s	Storno 62.463
13	L30	62	156-174 Mc/s	Storno 62.441
33	L30	62	70 - 88 Mc/s	Storno 62.496
	L34	61	64 μH	Storno 61.400
13	L36	62	156-174 Mc/s	Storno 62.494
33	L36	62	70 - 88 Mc/s	Storno 62.500
13	L37	62	156-174 Mc/s	Storno 62.493
33	L37	62	70 - 88 Mc/s	Storno 62.495
13	L38	62	ant.coil	Storno 62.513
33	L38	62	ant.coil	Storno 62.521
13	L39	62	ant.coil	Storno 62.524
33	L39	62	ant.coil	Storno 62.522
13	L40	62	ant.coil	Storno 62.510
33	L40	62	ant.coil	Storno 62.514
13	L41	62	ant.coil	Storno 62.509
	Rel	58	A start relay 2x50Ω	Storno 58007-82
	Re2	58	B key relay tastrelæ 50Ω	Storno 58007-35
	Re3	58	C key relay (ANT.mike tastrelæ 52Ω)	Siemens Trls 154d TBv 65412/93e



udarb. af
kontrol. af
tilh. diagr.

RADIO TELEPHONE CQM13C-14
CQM33C-14

Komp. liste X400.102
Blad No. 10 af 11

type	* no.	* code	data	product
	Re4	58	D pre-heating relay sparerelæ 52Ω	Siemens Trls 154d TBv 65412/93e
	Re5- Rel0		see special page for X-tal shift se specielt blad for krystalskift	
T1	60		1-2: 10kΩ 25mA 3-4: 1,5kΩ 5-6: 3,2 Ω 1 W	JS 5H-7361
T2	60		600Ω/10kΩ	JS 0,16K-7173
T3	60		vibrator transf. 6/12V 1/4-2/5-3/6-6-0-6V 110~ 1-3/4-6 12-0-12V 110~ 7-8: 45V 30mA 9-10-11-12-14: 0-130- 200-300-320V 190mA INT.	50H 8368 JS
T4	60		1,5H 0,17A 120Ω	JS 3,15-7254/2
V1	99		duotriode	Philips ECC84
V2	99		duotriode	Philips ECC81
V3	99		pentode	Philips 5654/M8100
V4	99		pentode	Philips 5654/M8100
V5	99		pentode	Philips 5654/M8100
V6	99		pentode	Philips 5654/M8100
V7	99		pentode	Philips 5654/M8100
V8	99		duotriode	Philips ECC83
V9	99		triode/pentode	Philips ECL80
V10	99		triode/hexode	Philips ECH81
V11	99		duotriode	Philips ECC81
V12	99		triode/hexode	Philips ECH81
V13	99		Pentode	Philips 5654/M8100
V14	99		Pentode	Philips 5654/M8100
V15	99		duotetrode	Philips QQE 03/12
V16	99		duotetrode	Philips QQE 03/12
Vb	93		vibrator	Mallory US 1701 6V
X1-X12			see special pages for X-tal shift se specielle blade for krystalskift.	



udarbejdt af

kontrol af

tilh. diagr.

RADIO TELEPHONE CQM13C-14
CQM33C-14

Komp liste
X400.102
blad nr. 11 af 11
blad nr. 11 af 11